

ОН

ОД

спектр
ЭПР

1940

15 Б254. Электронный парамагнитный резонанс двух-атомных гидридов в газовой фазе. I. Сверхтонкое и квадрупольное взаимодействие O^{17} в OH и OD. Sargent A., Lucas N. J. D. Electron resonance of gaseous diatomic hydrides I. ^{17}O hyperfine and quadrupole interactions in OH and OD. «Proc. Roy. Soc. London», 1970, A:314, № 1519, 567—583 (англ.)

В результате исследования спектров ЭПР радикалов $O^{17}H$ и $O^{17}D$ определены параметры магнитного сверхтонкого и электрич. квадрупольного взаимодействий. Е. О.

X. 1940

15

OH

6 Д568. Магнитный резонансный спектр возбужденных колебательных состояний OH и предсказание радиоастрономического спектра. Churg Antonie Levy Donald H. The magnetic resonance spectrum of vibrationally excited OH and a prediction of the radio-astronomy spectrum. «Astrophys. J.», 1970, 162, № 3, Part 2, L161—L165 (англ.)

1970

спектр

м.и.

С помощью микроволнового спектрометра исследован магн. резонансный спектр $^2\Pi_{3/2}, J=3/2$ вращательных уровней радикалов OH для пяти колебательных состояний $v=0, 1, 2, 3, 4$. Радикалы в возбужденных колебательных состояниях получены как продукты реакции атомарного водорода с F_2O . Из сравнения наблюдаемых и вычисленных спектров определены необходимые константы взаимодействий и вычислены частоты пере-

оф. 1971.

69

ходов λ — удвоения в нулевом поле для состояния $^2\Pi_{3/2}, J=3/2, v=1$ радикала OH. Отмечено, что в ИК звездах возможна оптич. накачка излучением с длиной волны 2 мк колебательного состояния $v=1$ радикала OH и возможно наблюдение радиоизлучения на вычисленных частотах λ -дублетов.

В. М. Рыжков

XI-885

1970

Off (near. noer.)

Carbone C.,

Diss. Afstz. Tnt., 1970, B30,
N9, 4310

10

ОН

1970

5 В110. Определение энергий связанных и квазисвязанных (резонансных) состояний для различных молекулярных потенциалов. Johnson B. R., Balint-Kurti G. G., Levine R. D. The determination of bound and quasibound (resonance) state energies for molecular interactions. «Chem. Phys. Lett.», 1970, 7, № 2, 268—272 (англ.)

Предложен метод определения энергий связанных и квазисвязанных состояний двух атомов по особенностям матрицы рассеяния. В кач-ве иллюстрации рассмотрен основной терм молекулы ОН. Е. Никитин

X. 1971. 5

1970

ОН

10 Д765. Люминесценция систем, содержащих ион гидроксила. Магіа Н. І., McGlynn S. P. Luminescence of systems containing hydroxyl ion. «J. Chem. Phys.», 1970, 52, № 7, 3402—3408 (англ.)

Исследована флуоресценция радикала OH в щелочно-галоидных кристаллах, водных растворах NaOH, Zn(OH)₂, Cd(OH)₂ диэтиламина, аммиака и PbO⁺ + NaOH. Флуоресценция приписана переходу $A^2\Sigma^+ \rightarrow X^2\Pi$ радикала OH, образованного из иона OH⁻ при возбуждении УФ-светом за счет фотопереноса электрона матрице. Наблюдалась фосфоресценция изученных систем при $\lambda \sim 400$ мкм, приписанная переходу $^4\Sigma^- \rightarrow X^2\Pi$ радикала OH. Обсуждаются возможные электронные состояния OH и схема энергетич. уровней его в модели конфигурационных кривых. Библ. 16.

В. Ф. П.

9. 1970. 109

X-6953

1970

OH, H₂, HF, HBr u.g.p., Li₂, N₂, CO u.r.g
(mol. noer., paerer)

Mirajkar S.U.,

Indian J. Phys., 1970, 44, n10, 521-531

HO

erroneous Q.K

OH

1970

203081 Level crossing experiment in the OH free radical.
Marshall, Alan F. (State Univ. of New York, Stony Brook,
N.Y.). 1970, 73 pp. (Eng). Avail. Univ. Microfilms, Ann
Arbor, Mich., Order No. 70-9025. From *Diss. Abstr. Int. B*
1970, 30(11), 5182.

SNDC

C.S. 1971.74.6

I970

OH

Nadler M., Kaskan W.E.

J.Quant.Rad.Trans., 10, 25

Collisional broadening of OH

$^2\Sigma^+ - ^2\pi$ lines in flames.

OH

1970

research papers

60847y Rotation-vibration energy transfer in collisions between OH($A^2\Sigma^+$) and argon and molecular nitrogen. Welge, Karl H.; Filseth, Stephen V.; Davenport, J. (Centre Res. Exptl. Space Sci., York Univ., Toronto, Ont.). *J. Chem. Phys.* 1970, 53(2), 502-7 (Eng). Collisional relaxation of OH($A^2\Sigma^+, v', K'$) in high rotational levels of $v' = 0$ and 1 has been investigated with respect to transitions from rotational levels in $v' = 0$ to levels in $v' = 1$. Initial nonequil. rotational distributions of OH ($A^2\Sigma^+$) in $v' = 0$ and 1 were produced by monochromatic photodissocn. of H₂O with the radiation of a Kr-resonance lamp at 1236 and 1165 Å. The effect of added foreign gases (Ar and N₂) on the population of individual levels in $v' = 0$ and 1 has been studied under steady-state conditions by observing the emission intensities of individual lines in the (0, 0) and (1, 1) bands of the OH ($A^2\Sigma^+ \rightarrow X^2\Pi$) transition. The essential observation was made on the population of the rotational

C.A. 1970-73

72

$v' = 1$, $K' = 15$ in $v' = 1$. The population of this level increased significantly in the presence of Ar and N₂ beyond the initial population produced from H₂O alone. In comparison, the population of adjacent levels remained relatively unchanged or decreased when foreign gas was added. The effect on the ($v' = 1$, $K' = 15$) level is attributed to the collisional transfer process OH ($A^2\Sigma^+$, $v' = 0$, $K' = 20$) + Ar, N₂ → OH ($A^2\Sigma^+$, $v' = 1$, $K' = 15$) + Ar, N₂ + ΔE , where the energy difference, $\Delta E = 27 \text{ cm}^{-1}$, between the 2 levels is small compared to the heat bath energy, $kT = 250 \text{ cm}^{-1}$. For this process and its reverse, a rate const. of the order of $10^{-11} \text{ cm}^3 \text{ mol.}^{-1} \text{ sec}^{-1}$ has been derived. According to angular-momentum conservation, the process involves, in the case of Ar as collision partner, an increase in the impact parameter which is estd. to be about 0.3 Å.

RCIO

ОН (и.н)

1971

Борисов И. С., Бураков Н. Н.

"Теория экспрессии образов
животных и ее методы". Выс-
шес., "Наука", 1971, 167-169

См Сл; II

OH

all. na ob.

y

Zayd R.Y.

Whitehead M.A.

1941

J. Chem. Soc.,

1941, H, 222, 3549.



(Cet. Btu) II

сравнение средних размеров и величин
пометных яиц различных видов (51)

Средняя норма яиц

и. - я. Орбак. I II III IV сред.

ОИ	51	14.88	13.81	15.13	13.73	13.36
	♂	15.80	14.57	16.33	15.24	
	♂	33.93	34.39	33.24	33.61	

DH

Cade P. E. et al.

1981

J. Chem. Phys., 54(8),
3517.

boggyo;
waterwetland

(coll. O₂) III

Oce R. m n
Tyrolia;

10/12, diam.

ОН

У - 882

1871

11 Б1085. Инфракрасный лазер на гидроксильном радикале. Callear A. B., Berg H. E. van den. An hydroxyl radical infrared laser. «Chem. Phys. Lett.», 1971, 8, № 1, 17—18 (англ.)

При импульсном фотолизе смеси O_3 с H_2 в резонаторе лазера (трубка из прозрачного кварца длиной 2 м с внутренним диам. 22 мм) обнаружено стимулированное излучение OH^* на вращательно-колебательных переходах P -ветви $v=3 \rightarrow 2,2 \rightarrow 1$ и $1 \rightarrow 0$. Радикалы OH^* с инверсной колебательной заселенностью образуются в р-циях $O(^1D) + H_2 \rightarrow H + OH^*(v \leq 2)$ и $H + O_3 \rightarrow O_2 + OH^*(v \leq 9)$. Стимулированное излучение появляется при энергии фотолизующей вспышки 400—2000 дж для смесей $O_3/H_2 = 1/10$ при полном давл. 1—10 мм. Добавки 700 мм Не не влияют на лазерную эмиссию, а добавки 70 мм N_2 полностью ее подавляют, вероятно,

+1

в общесст 115

X. 1981. 11



из-за дезактивации $O(^1D)$. Полная пиковая мощность лазерного излучения по оценке составляет 2 вт. Спектр свечения состоит из 7 линий: 3407, 3368, 3249, 3210, 3168, 3092 и 3054 см^{-1} , отождествленных с определенными колебательно-вращательными переходами радикала OH^* . Относит. интенсивности линий могут быть вычислены в предположении, что отношение заселенностей $OH(v=n)/OH(v=n-1) \approx 0.5$. Новый лазер может найти применение для детектирования OH в химически реагирующих системах, включая земную атмосферу. В. Е. Скурат

OH

1971

11 Д349. Измерения времен жизни и g -факторов свободных радикалов OH и OD методами пересечения уровней и двойного оптического резонанса. DeZafra Robert L., Marshall Alan, Metcalf Harold. Measurement of lifetime and g factors by level crossing and optical double resonance in the OH and OD free radicals. «Phys. Rev. A: Gen. Phys.», 1971, 3, № 5, 1557—1567 (англ.)

С помощью методов пересечения уровней в нулевом поле (эффект Ханле) и двойного оптического резонанса измерены времена жизни и g -факторы нескольких вращательных подуровней возбужденного состояния $A^2\Sigma^+$

+1 III
+1 фми



ф. 1971. 110

свободных радикалов OH и OD. Изложены основы теории молекулярного эффекта Ханле и подробно описана использованная эксперим. аппаратура. Сигнал двойного оптич. резонанса наблюдался на пяти первых вращательных подуровнях состояния $A^2\Sigma$. Полученные значения g -факторов находятся в хорошем согласии со значениями, ожидаемыми для случая чистой b -связи в этом состоянии. Эффект Ханле наблюдался на четырех вращательных подуровнях OH ($k=2 \div 5$) и семи вращательных подуровнях OD ($k=2 \div 8$). Полученные результаты приведены в таблицы. Библ. 20.

В. С. З.

OH paduk

820839 Absolute intensities and oscillator strengths of several lines of the 1-0 and 2-1 vibration-rotation bands of the OH radical. d'Incan, Jean; Effantin, Christiane; Roux, Francoise (Lab. Spectrom. Mol., Fac. Sci. Lyon, Lyons, Fr.).

J. Quant. Spectrosc. Radiat. Transfer 1971, 11(8), 1215-24 (Eng).

Line radiances (R_L) have been obtained in the 1-0 and 2-1 vibration-rotation bands of the OH radical by using a high resoln. ir grill spectrometer, a blackbody and an oxyacetylene flame. From temp. measurements and calcd. values of the OH partial pressures in different regions of the flame, the optical path has been derived. Integrated absorption $S_{i,j}^{''}$ and oscillator strength $f_{i,j}^{''}$ have been deduced for the 4 components (lambda and spin doubling) of the P branch line $J = 11$ through $J = 17$ in the 1-0 transition and $J = 9$ through $J = 16$ in the 2-1 transition. The values $|R_1^0| = 3.1 \times 10^{-2} D$ and $|R_2^1| = 3.9 \times 10^{-2} D$ have been obtained for the vibrational matrix elements of the 1-0 and 2-1 bands. Dipole moment coeffs. have been calcd. Results have been compared with those of Heaps and Herzberg.

fmn

adv. recd.

P-H.1991.45.1d

1971

ОН

1941

3 Б236. Абсолютные интенсивности и силы осцилляторов ряда линий вращательно-колебательных полос 1—0 и 2—1 радикала ОН. D'Incan Jean, Effantin Christiane, Roux Françoise. Intensités absolues et forces d'oscillateur de quelques raies des bandes de vibration-rotation 1—0 et 2—1 du radical OH. «J. Quant. Spectrosc. and Radiat. Transfer», 1971, 11, № 8, 1215—1224 (франц.; рез. англ.)

С помощью ИК-спектрометра высокого разрешения измерена сила (R_L) ряда вращательных линий P -ветви полос 1—0 ($11 < K < 17$) и 2—1 ($9 < K < 16$) ($\sim 2690—3100 \text{ см}^{-1}$) радикала OH, образующегося в кислородно-ацетиленовом пламени. Кроме того, измерена излучательная способность черного тела (R_S) при различных

(+1) 8mn

х, 1972, 3

☒

т-рах. Средняя т-ра пламени по измерениям четырех ветвей P_1 и P_2 полос 1—0 и 2—1 оценена равной $3350 \pm 50^\circ\text{K}$. Из т-рных измерений и вычисленных величин парц. давл. ОН в различных областях пламени определена оптич. толщина $X = 1,85 \times 10^{-2} \text{ см}\cdot\text{атм}$ (вероятная ошибка $\leq 10\%$). С помощью ф-лы $R_L = (R_\omega^0)_T S X [(R_\omega^0)_T]$ — излучательная способность черного тела при т-ре T для рассматриваемой длины волны ω вычислены по данным измерений интегральные интенсивности S и силы ацилляторов $f_{VJ}^{V'J'}$ вращательных линий ветвей P_1 и P_2 полос 1—0 и 2—1 радикала ОН. Из величины S определены также значения матричных элементов колебательного перехода $R_V^{V'} = \int \psi_V^* M \psi_{V'} d\tau$: $|R_1^0| = 3,1 \times 10^{-2}$ и $|R_2^1| = 3,9 \times 10^{-2} D$. По величинам этих матричных элементов определялись коэф. в разложении дипольного электрич. момента M в ряд вблизи положения равновесия $r = r_e$ $M = M_0 + M_1(r - r_e) + M_2(r - r_e)^2 + \dots$. В зависимости от принятого знака $R_V^{V'}$ найдены четыре пары величин: $(\bar{M}_1 = +0,480, \bar{M}_2 = +0,793D)$, $(\bar{M}_1 = +1,193, \bar{M}_2 = +12,930D)$, $(\bar{M}_1 = -0,480, \bar{M}_2 = -0,793D)$, $(\bar{M}_1 = -1,193, \bar{M}_2 = -12,930D)$, где $\bar{M}_1 = M_1 r_e$, $\bar{M}_2 = M_2 r_e^2$. Найденное отсюда соотношение $\bar{M}_2/\bar{M}_1 = 1,65$ и 10,8, что существенно отличается от величины $-0,514$, приведенной в литературе.

А. П. Александров

ОН

XI-2490

1971

5 Д157. Предиссоциация континуумом связанныго состояния без пересечения потенциальных кривых. Применение к спектру ОН. Durgmaz S., Murrell J. N. Predissociation by the continuum of a bound state without curve crossing. Application to the spectrum of OH. «Trans. Faraday Soc.», 1971, 67, № 12, 3395—3398 (англ.)

Вычислены факторы Франка—Кондона для переходов из дискретных колебательных уровней с $v=0 \div 9$ электронного состояния $A^2\Sigma^+$ на континуум основного электронного состояния $X^2\Pi$ радикала OH. Расчеты выполнены с использованием потенц. ф-ции Ридберга—Клейна—Риса для значений квантового числа $N=0 \div 30$ (N — квантовое число полного углового момента за вычетом спина). Из полученных факторов Франка—Кондона оценены вероятности предиссоциации колебательно-вращательных уровней состояния $A^2\Sigma^+$ и показано, что наблюдаемая в спектрах поглощения и излучения OH

Чредие.

ф. 1972. 52.

предиссоциация уровней с $v=2\div 5$ состояния $A^2\Sigma^+$ удовлетворительно объясняется переходами $A^2\Sigma^+ \rightarrow X^2\Pi$ (континуум) без пересечения потенц. кривых (ранее такая предиссоциация интерпретировалась пересечением потенц. кривой состояния $A^2\Sigma^+$ с потенц. кривой несвязывающего состояния типа ${}^2\Sigma^-$).
M. R. Алиев

XI-2790

1971

OH

) 11 Б20. Предиссоциация связанныго состояния континуумом в отсутствии пересечения термов. Применение к спектру OH. Durgaz S., Mikkell J. N. Predisso-
ciation by the continuum of a bound state without curve
crossing. Application to the spectrum of OH. «Trans. Fa-
taday Soc.», 1971, 67, № 12, 3395—3398 (англ.)

микел.

Рассчитаны факторы Франка — Кондона (ФФК) для переходов между колебательно-вращательными состояниями возбужденного электронного терма $A^2\Sigma^+$ и состояниями непрерывного спектра основного электронного терма ${}^2\Pi$ молекулы OH. Отношения рассчитанных величин ФФК для состояний с колебательными квантовыми числами $v=2$ и 6 примерно на три порядка больше отношения экспериментально измеренных обратных времен жизни соотв-щих уровней. Авторы связывают это с прямой предиссоциацией уровня $v=6$ терма $A^2\Sigma^+$ в результате пересечения с термом ${}^4\Pi$.

С. Я. Уманский:

У. 1972. 11

XI - 2790

1944

OH

nrequuccas

(cnektja)

8299u Predissociation by the continuum of a bound state without curve crossing. Application to the spectrum of OH. Durmaz, S.; Murrell, J. N. (Sch. Mol. Sci., Univ. Sussex, Brighton, Engl.). *Trans. Faraday Soc.* 1971, 67(12), 3395-8 (Eng). Calcns. of the Franck-Condon overlaps between the bound vibrational levels of the $A^1\Sigma^+$ state of OH and the continuum levels of the ground state $X^3\Pi$ suggest that the weak predissocn. of the levels $v = 2-5$ could be due to a direct predissocn. to the ground state and not to the crossing by another excited state. Accurate measurements of the intensity of the emission lines could test this hypothesis.

C. 94. 1948. 46. 8

1971

OH

119283d Ultraviolet hydroxide spectrum. Furst, Benjamin
Clarkson College Technol., Potsdam, N.Y.). 1971, 147 pp.
(Eng). Avail. Univ. Microfilms, Ann Arbor, Mich., Order No.
72-1730. From *Diss. Abstr. Int. B* 1972, 32(7), 4137.

700 - chemwp

C.A. 1972. 76:20

OH

XI - 4348
Entered Oct 29 1971

1971

reducage
airlet

42590w Predissociation in the spectrum of hydroxide.
Reinterpretation. Gaydon, A. G.; Kopp, I. (Imp. Coll.,
London, Engl.). *J. Phys. B* 1971, 4(5), 752-8 (Eng). The
weak predissocn. in the $v = 1$ and 2 levels of $A ^2\Sigma^+$, previously
attributed to a $^2\Sigma^-$ state crossing on the inner limb of the potential
curve of $A ^2\Sigma^+$, has been reexamd. assuming crossing on the outer
limb. It can be accounted for either by a $^4\Pi$ state or by a $^4\Sigma^-$
state, of which the latter seems more probable. This can account
for the different strengths of lines from the F_1 and F_2 components
of $A ^2\Sigma^+$.

C.A. 1971 95.6

OH

октябрь 2931
XI - 4848

1971

) 23 Б73. Предиссоциация в спектре OH; новая интерпретация. Gaydon A. G., Корр I. Predisassociation in the spectrum of OH; a reinterpretation. «J. Phys. B: Atom. and Mol. Phys.», 1971, 4, № 5, 752—758 (англ.)

Обсуждается возможный механизм предиссоциации с колебательных уровней $v=1$ и $v=2$ состояния $A^2\Sigma^+$ радикала OH. Считается, что область пересечения термов, где локализован неадиабатич. переход, лежит на внешней связывающей части потенциальной кривой состояния $A^2\Sigma^+$. Наиболее вероятными термами, пересекающими терм $A^2\Sigma^+$, являются термы ${}^2\Pi$ и ${}^4\Sigma^-$. Из них ${}^4\Sigma^-$ более предпочтителен, что следует из анализа сил линий компонент F_1 и F_2 состояния $A^2\Sigma^+$. А. Зембеков

специаль

X. 1971.23

OK

1971

4 Д923. Исследование полос гидроксила (4—1) и (5—2) в ночном свечении. Harrington A. W., Evans W. F. J., Llewellyn E. J. Study of the (4—1) and (5—2) hydroxyl bands in the night airglow. «Can. J. Phys.», 1971, 49, № 19, 2509—2517 (англ.; рез. франц.)

Рассмотрены результаты систематич. измерений (в течение года) излучения ночного неба в полосах гидроксила (4—1) и (5—2), расположенных около 1 мк. Измерения выполнены с помощью спектрометра с разрешением 27 Å. Из сравнения расчетного спектра с экспериментальным определены четыре вращательные т-ры для P -ветви изучаемых полос. Обнаружены сезонные вариации этих т-р. Показано, что вращательные т-ры за длительный период наблюдения частично коррелированы с вариациями полной яркости полос, однако в течение ночи такая корреляция отсутствует. Сделано предположение, что вертикальный профиль излучения гидроксила слабо изменяется в течение ночи. Определены средние абр. яркости полос, составляющие для полосы (4—1)—4,6 и 3,5 крелей и для полосы (5—2)—5,8 и 4,3 крелей соответственно для зимних и летних условий. Библ. 27.

Г. Е. Синельникова

Ф. 1972

4Д.

OH

Bp-3056-IX 1971.

Hansen R.H

Frenkel E.

Spacean

real. emp; Theor. chim.

Do)

acta, 1971, 20,
N2, 105-112

OH

1971.

Herzberg G.

Annals 1665

" Highlights of
Astronomy, 1971,

415-20.

OH

B.B. Laerd

J.C. Gaydon.

1971

822

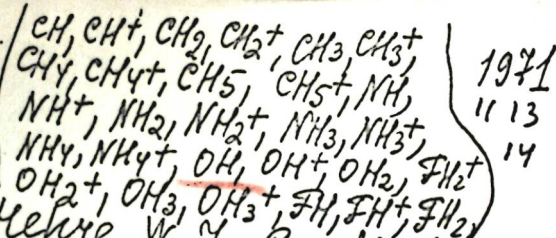
total.

temp.

"Flame" 16, 55-60, (1971)

Absorption Spectrum of Ethylene
Diffusion Flames"

Sacram. receperunt
ad festum. Ei, vij
civl. n



Zathan W.A. OH_2^+ , OH , OH^+ , OH_2 , FH_2^+
Hebre W.Y., Curtiss J.A.
J. Amer. Chem. Soc., 107, 03, N^o 6377-

Molecular orbital theory-6387 (all.) 35
of the electronic structure of organic compounds. X. A systematic study
of geometries and energies of AN_n molecules.
Part I, 1979, 952; part II, 1980, 10.

OH

Legueux, J.

1971

(u.b.en.) "Rev. Phys. Appl.", 1971,
6, N₂, 259-61.

(c.u. NH₃, III)

OH

ommited 2933
XI-2863

1971

52410x Reanalysis of the $A^2\Sigma^+ - X^2\Pi_1$ system of hydroxide.
Moore, Elaine A.; Richards, W. G. (Phys. Chem. Lab., Oxford,
Engl.). *Phys. Scr.* 1971, 3(5), 223-30 (Eng). By using sta-
tistical methods improved spectroscopic consts. are obtained for
the $A^2\Sigma$ and $X^2\Pi_1$ states of OH. In particular, careful attention
was paid to the A-doubling consts. The difficulty of choosing
a formula to express all the energy levels is discussed and com-
plete tables of term values are included. The term values are
accurate to better than 0.1 cm^{-1} .

M.N.

C.A. 1972. \$6.10

1949

OH

checkup

145811y Infrared emission of OH in the fundamental and
first overtone vibration-rotation bands. Murphy, Randall
Edward (Utah State Univ., Logan, Utah). 1970, 142 pp.
(Eng). Avail. Univ. Microfilms, Ann Arbor, Mich., Order No.
70-26,986. From *Diss. Abstr. Int. B* 1971, 31(7), 4257.

C. A.

1941

45.84

OH, OD

M. n.

Cuentp
Marscum

C.A. 1941. \$5.24

X¹-2714

1941

~~145809d)~~ Magnetic rotation spectra of the A¹Σ⁺ - X¹Π₁ transition of OH and OD. Nanes, Roger (Johns Hopkins Univ., Baltimore, Md.). 1970, 165 pp. (Eng). Avail. Univ. Microfilms, Ann Arbor, Mich., Order No. 70-26,687. From Diss. Abstr. Int. B 1971, 31(7), 4259.

bfacs

ОН
OD

XI-1857

1971

12 Д447. Магнитные вращательные спектры перехода $A^2\Sigma^+ - X^2\Pi$; ОН и OD. Написано R., Robinson D. W. Magnetic rotation spectra of the $A^2\Sigma^+ - X^2\Pi$ transition of OH and OD. «J. Chem. Phys.», 1971, 55, № 2, 963—974 (англ.)

С помощью фотографич. методики исследованы с высоким разрешением спектры поглощения, зеемановского расщепления и магн. вращения (0,0)-полосы перехода $A^2\Sigma^+ - X^2\Pi$; радикалов OH и OD. Радикалы генерировались при высокочастотном разряде (2450 мгц) через чистые H₂O и D₂O. В каждой из полос обнаружены все 12 ветвей (в полях 1300 и 2700 Гц), наиболее интенсивными из которых были P_1 - и Q_1 -ветви. В некоторых случаях спектры магнитооптич. вращения позволили зарегистрировать зеемановскую структуру, не разрешаемую в спектрах поглощения в магн. поле. Анализ спектра проводился с помощью ЭВМ. Расчеты дали хорошее согласие с экспериментом. Библ. 23.

В. С. 3

Ф. 1972. 20

(+)

(X)

ОН

2874

Спектр

X

+1

13 Б144. Разрешенная по времени спектроскопия импульсного разряда в парах воды: наблюдение излучения с $C^2\Sigma^+$ -состояния ОН. Remy François. Time resolved spectroscopy of a pulsed discharge through water vapor: observation of emissions from the $C^2\Sigma^+$ state of OH. «Spectrosc. Lett.», 1971, 4, № 9, 319—327 (англ.)

При возбуждении импульсным электрич. разрядом (импульсы длительностью $2 \cdot 10^{-6}$ сек., амплитудой 1500 в и частотой 25 Гц) паров воды наблюдалось излучение OH при 2683,5 Å, соотв.-щее переходу $(0-9) C^2\Sigma^+ - A^2\Sigma^+$, а также группа эмиссионных полос в области 1850 Å. Изучено изменение интенсивностей этих линий во времени. Обнаружено, что в обоих случаях кривые затухания состоят из двух экспонент с характерными временами примерно 80 и 320 нсек. В соответствии с полученными временами жизни проведено отнесение полос к переходам с $a^3\Sigma_g^+$ состояния H_2 и $C^2\Sigma$ состояния OH. Обсуждена интерпретация группы полос в области 1850 Å.

О. Г. Гаркуша

X. 1972.

13

OH

XVI -2880

1971

~~39722f~~ High-field Stark effects on the near ultraviolet spectrum of the hydroxyl radical. Scarl, Ethan A.; Dalby, F. W. (Phys. Dep., Univ. British Columbia, Vancouver, B.C.). *Can. J. Phys.* 1971, 49(22), 2825-32 (Eng). Spectra due to the $A^2\Sigma^+ - X^2\Pi$ transition of the OH radical in elec. fields of over 300,000 V cm⁻¹ were obtained. The dipole moment of the $A^2\Sigma^+ v = 0$ state of OH was (1.98 ± 0.08) D. From the variation of the dipole moment with vibrational quantum no. in the Π state, the transition probability for the pure vibrational transition $v = 1 \rightarrow v = 0$ was $A_{10} = 80$ sec⁻¹.

Cullings

JH

Ent. 1972 76.8

OK

Veseth L.

1944

F. Mol. Spectrosc. 3, 1944
38, N.Y., 218-242

M.N.

(Cen. Calif.)¹⁴

OH

Bendazzoli G. L.,
Bernardi F., Palmieri P.

1972

расчет
констант
спектрового
спектролог.

"Mol. Phys.", 1972, 23, N^o 1,
193-196.

(c.u. NH₂, III)

OH

(79761v) Theoretical potential energy curves for OH, HF⁺, HF, HF⁻, NeH⁺, and NeH. Bondybey, Vladimir; Pearson,

1972

Peter K.; Schaefer, Henry F., III (Dep. Chem., Univ. California, Berkeley, Calif.). *J. Chem. Phys.* 1972, 57(3), 1123-8 (Eng). Ab initio calcns. have been carried out on the ground states of OH, HF⁺, HF, HF⁻, NeH⁺, and NeH. Extended basis sets were used and electron correlation was included by way of 1st-order wavefunctions. Dissocn. energies and other spectroscopic consts. are in good agreement with available exptl. data except for the bond distance of HF⁺. Electron detachment in collisions between H and F⁻ is discussed on the basis of the calcd. potential curves. Potential curves were also obtained ab initio for the 3 lowest excited states of NeH. These curves are qual. similar to those reported earlier by Slocomb, Miller, and Schaefer for HeH. The C³ Σ^+ state of NeH is predicted to have a potential max. of 0.87 eV at internuclear sepn. ~4 bohr.

B, M.H.

Kb. Mex

Keurtei

XI - 3/4/1
(X)

+ 4

⊗

C.A. 1972. 44. 12

OH₂OD (u.n.)

#3148

1972

Ducas T. W., Geoffrion L. D., Osgood
R. M. Jr., Yawar A.,

Appl. Phys. Lett., 1972, 21, N₁, 42-

-44 (arcd.)

Observation of laser oscillation
in pure rotational transitions
of OH and OD free radicals.

PrePub, 1972, 12D934. 10 6



OH

X¹ - 3189

1972.

107070q Accurate wavenumbers of the $A^2\Sigma \rightarrow X^2\Pi$ (0,0) and (1,0) bands of OH and OD. Engleman, Rolf, Jr. (Sci. Lab., Univ. California, Los Alamos, N. Mex.). *J. Quant. Spectrosc. Radiat. Transfer* 1972, 12(9), 1347-50 (Eng). The important $A^2\Sigma \rightarrow X^2\Pi(0,0)$ absorption band of OH was re-measured from spectra obtained by flash photolysis of H_2O_2 vapor. Accurate waveno. measurements using Th stds. show that the previous rotational line measurements are about 0.1 cm^{-1} too large. Measurements are also given for the (1,0) band of OH and the (0,0) and (1,0) bands of OD.

M. H

C.A.1972. 77. N16

ОН

2 Д357. Точные значения частот вращательных линий полос 0—0 и 1—0 перехода $A^2\Sigma-X^2\Pi$ OH и OD. Engleman Rolf, Jr. Accurate wavenumbers of the $A^2\Sigma-X^2\Pi$ (0,0) and (1,0) bands of OH and OD. «J. Quant. Spectrosc. and Radiat. Transfer», 1972, 12, № 9, 1347—1350 (англ.)

С помощью импульсного фотолиза паров H_2O_2 и D_2O при низком давлении получены спектры поглощения полос перехода $A^2\Sigma-X^2\Pi$ радикалов OH и OD. Низкая температура ($\sim 350^\circ K$) и давление обеспечивают меньшую ширину вращательных линий ($\sim 0,1 \text{ см}^{-1}$) по сравнению с дуговыми источниками спектра ($\sim 0,3 \text{ см}^{-1}$). Используя спектрограф высокой разрешающей силы и спектр тория в качестве эталона, оказалось возможным более точно определить частоты вращательных линий. Показано, что частоты линий полосы 0—0 OH систематически на $0,1 \text{ см}^{-1}$ ниже прежних данных; аналогичное отклонение наблюдалось для полосы 0—1 OD. Для полос 0—1 OH и 0—0 OD различие незначительно. Библ. 11.

В. Александров

Файл № 73-2

(+/-)

XI - 3189

1972.

OH

5 Б109. Точные значения волновых чисел для переходов $A^2\Sigma \rightarrow X^2\Pi$ (0,0) и (1,0) молекул OH и OD. Engleman Rolf, Jr. Accurate wavenumbers of the $A^2\Sigma \rightarrow X^2\Pi$ (0,0) and (1,0) bands of OH and OD. «J. Quant. Spectrosc. and Radiat. Transfer», 1972, 12, № 9, 1347—1350 (англ.)

С помощью ториевого стандарта частоты измерены положения полос вращательной структуры молекул OH (OD), полученных при импульсном фотолизе паров

H_2O_2 (H_2D_2). Найдено, что прежние значения частот для переходов $A^2\Sigma \rightarrow X^2\Pi$ (0,0) и (1,0) завышены примерно на $0,1 \cdot \text{см}^{-1}$. Приведены точные значения частот.

Б. Локшин

X. 1973. N 5.

+1

☒

OH (Ae^+)

X-8897

1972

KOH (D₀)

Flugier A.,

These d'ach. sci phys. Fac. sci Univ.
Paris, 1972, 113 p. (99 p.)

Ionisation thermique et chimique
dans les flammes.

EE76 Q.P.K

Rue du Docteur, 1975, 1551194 D.

10,4

OH (*y.p. cucurbita*)

3051

1972

Fwest B.,

Diss. Abstr. Int., 1972, B32, N7, 4134
(canal.)

Ultraviolet hydroxide spectrum.

10

(5)

(2)

~~face specimen~~

07/1972, Y6, A20, 119283d

OH

Hinkley R.K.;
et al

1972

пакету. "Mol. Phys.",
1972, 24, № 5, 1095-102.

"Конс. смесей определена
в газовом

(ав. Bell; III)

IX - 3864

1972

OH

14 Б56. А-удвоение состояний $^2\pi$ двухатомных молекул. Hinkley R. K., Hall J. A., Walker T. E., Richards W. G. A doubling in $^2\pi$ states of diatomic molecules. «J. Phys. B: Atom. and Mol. Phys.», 1972, 5, № 2, 204—212 (англ.)

С использованием неэмпирич. хартри-фоковских волновых функций вычислены матричные элементы операторов спин-орбитального взаимодействия и взаимодействия орбитального движения электронов с вращением двухатомной молекулы, связывающие состояния $^2\pi$, с состояниями $^2\Sigma^+$; расчеты проведены для OH, BeH, CH и NO. Полученные значения матричных элементов использованы для вычисления постоянных удвоения p и q $^2\pi$ состояний этих молекул. Рассмотрена применимость модели «чистой прецессии» к указанным молеку-

расчет
и.и.

+

☒



X. 1972

174

лам, согласно к-рой орбитальное квантовое число L сохраняется, а сумма 2-го порядка сводится к одиночному члену. Показано, что вычисленные для OH и BeH в рамках модели «чистой прецессии» значения p и q полностью согласуются с эксперим. значениями p и q , для CH расхождение между вычисленными и эксперим. значениями p и q малό, а для NO модель «чистой прецессии» неприменима.

М. Р. Алиев

OH

IX - 3869

1972

BeH

CH

NO

92371s A Doubling in $^3\Pi$ states of diatomic molecules. Hinkley, R. K.; Hall, J. A.; Walker, T. E. H.; Richards, W. G. (Phys. Chem. Lab., Oxford, Engl.). *J. Phys. B* 1972, 5(2), 204-12 (Eng). The Λ doubling consts. of the $^3\Pi$ states of OH, BeH, CH, and NO are calcd. from Hartree-Fock wavefunctions to test the validity of Van Vleck's hypothesis of pure precession. Excellent agreement with expt. is found for OH and BeH while for CH the discrepancies are relatively small. In the case of NO, however, no agreement is found and it is concluded that the hypothesis only holds when the mol. situation resembles that in atoms.

1 Nov. 8 27

(3) 18

C.A. 1972. 46.16

OH

1972

4 Д445. Резонансное поглощение свободными радикалами OH, наблюдаемое при воздействии излучения лазера на молекулах H₂O. Kasuya Takahiro, Shimoda Koichi. Resonant absorption of free OH radical observed by an H₂O laser. «Jap. J. Appl. Phys.», 1972, 11, № 10, 1571 (англ.)

резонансное
поглощ.

Наблюдалось явление магн. резонансного поглощения в свободных радикалах OH при воздействии на них излучения с $\lambda = 118$ мк от лазера на H₂O. При изменении напряженности магн. поля от 6 до 50 э наблюдалось 7 линий поглощения, которые идентифицированы как зеемановские компоненты вращательных переходов электрич. диполя OH.

А. И. Сербин

ф. 1973 № 4

OH

TIK 4085

1972

Kim H., et al.

(
KB. MEX.
paeret
cud. noet.)

Daekau Marakak Hweejee,
1972, 16, N5, 261-4.

(all Ti-H) m

OH(cuckup)

1972

FO (D₀)

X₁2845

(OF)₅⁻ Zevy D.H.,

J. Chem. Phys., 1972, 56, N₃, 1415-1416
(cont.)

Production of hydroxyl
in the reaction of H⁺+H₂O and
binding energy of FO.

BESTELL, 1972, 135897 2 w (P)

OH

1972

Mariere C., Burie J. et al.

C. R. Acad. Sci., Ser. 1972,

cl. n.

245, 315-18.

(Ceci SO) $\overline{\text{II}}$

$C_2; N_2; O_2; H_2; CH; NH; OH;$
 $CN; NO; H_3; H_4; CH_2; CH_3; CH_4;$
 $NH_2; NH_3; H_2O; H_3O^+$

ϵ_i

(pariem) $\bar{x} \bar{i}$ 3315

1972

Mathew F.M., Ellison F.O.

J. Chem. Phys., 1972, 57, N12, 5183 -
- 5202 (asul.)

Semiempirical scaled molecular orbital theory.

Postscript, 1973, 9528

to (cell. C_2 ; III)

OH

XI-2862

1972

M. N.

277 - COCI

63368r Molecular parameters of the hydroxy free radical.
Mizushima, Masataska (Dep. Phys. Astrophys., Univ. Colorado,
Boulder, Colo.). *Phys. Rev. A* 1972, [3]5(1), 143-57 (Eng).
Theoretical formulas with higher-order perturbation terms are
given for the rotational levels of $^2\Pi$ states and are applied to the
OH free radical. By analyzing existing data values of several
mol. parameters including the rotational const. B , the spin-
orbit coupling constant A and A-doublet constants α and β are
obtained for some vibrational states. The magnetic g factors
are discussed and analyzed. A recent expt. on laser magnetic
resonance is also discussed.

C.A. 1972. 46. 12

ОН

XI-2862.

1972

I2 Б16. Молекулярные параметры свободного радикала OH. Mizushima Masa taka. Molecular parameters of OH free radical. «Phys. Rev. A: Gen Phys.», 1972, 5, № 1, 143—157 (англ.)

Вычислены высшие поправки теории возмущений к вращательным уровням состояний $^2\Pi$ двухатомных молекул. Результаты применены к анализу эксперим. данных для молекулы OH и для определения значений вращательной постоянной B , спин-орбитального коэф. A и параметров А-удвоения α и β . Соответствующие параметры табулированы, как функции вращательного и колебательного квантового числа. Дан также теор. анализ результатов эксперимента по лазерному магнитному резонансу для OH: вычислены интенсивности и поляризации переходов.

Т. К. Ребане

X. 1972.

T2

OH

Pamuk H. Önder.

1972

"Theor. Chim. acta"

1972, 28, N1, 85-98.

... паснерманнъ эспрес
каппесесинъ гуд молкест...



(ccl. BH; III)

OH (I)

✓ 1 Д297. Образование вращательно-возбужденного OH($^2\Sigma^+$) при разряде в парах воды. Pichamuthu J. P., Hessler J. C., Coleman P. D. Formation of rotationally excited OH($^2\Sigma^+$) in the water vapor discharge. «J. Chem. Phys.», 1972, 57, № 3, 1360—1361 (англ.)

1972

Уровни

Изучена временная зависимость интенсивности УФ-эмиссии ($^2\Sigma^+, v=0 \rightarrow ^2\Pi, v=0$) радикала OH (I), образующегося в импульсном разряде через пары воды при давл. 0,1—2,0 мм рт. ст. Показано наличие сильного отклонения от термич. распределения I по вращательным уровням. Максим. интенсивность излучения наблюдалась с пятого вращательного уровня и монотонно уменьшалась в обе стороны, достигая 25% от максим. величины для 2 и 23 уровней. Обсуждаются возможные механизмы образования наблюдаемого неравновесного распределения по вращательным уровням.

П. Ш.

Р. ж. ф. 1973. 1

XI -390.1

1972

H₂O, OH (D₀, vib. wave packet)

Peterson C., Pfeiffer G.V.,

Theor. chim. acta,

1972, 26, N^o 4, 321 - 330

(cu. H₂O; III)



H

err. q.k.

1872

OH

106305n Beam-maser measurements of the ground-state transition frequencies of hydroxyl. Ter Meulen, J. J.; Dymanus, A. (Fys. Lab., Katholieke Univ., Nijmegen, Neth.). *Astrophys. J.* 1972, 172(1)(Pt. 2), L21-L23 (Eng). Rest frequencies of the 4 transitions between the $F = 2, 1$ hyperfine levels of the $^2\Pi_{3/2}$, $J = 3/2$, Λ -doublet states of OH were detd. with a beam-maser spectrometer. The frequencies are accurate to about 100 Hz, and the sum rule is satisfied to within about 100 Hz.

C.A. 1872

76.18

1973

OH

исправ.
к сноске

12 Б241. Исправления авторов Sutherland R. A.,
Anderson R. A. к статье «Излучательные и предиссоциа-
ционные времена жизни состояния $A^2\Sigma^+$ OH. Anderson
R. A., Sutherland R. A. Radiative and predis-
sociate lifetimes of the $A^2\Sigma^+$ state of OH. Erratum.
«J. Chem. Phys.», 1973, 59, № 12, 6690 (англ.)
К РЖХим, 1973, 15Б144

д. 1974 г. 12

OH

1973.

(C. n.)

Anderson, Alfred B.

J.Chem.Phys.

1973, 58(I), 381-3.

● (eas. LiH; III)

OH

1973

γ

Berkowitz J., Appelman E.H., Chupka W.A.
"J. Chem. Phys.", 1973, 58, N° 5, 1950-1954.

(see HOF; I)

OH

OFFICE 2106

1973

Cade Paul E, Huo Wihfred.

Madness!

"Atom. Data and Nucl. Data

bullet. p-yu"

Tables" 1973, T2, N5, 415-56(eng)

(eev. LiH; II)

OH

Clyne, Coxon, and Fat

1973

J. Molec. Spectros. 46, 146 (1973)

The $A^2\Sigma^+ - X^2\Pi_i$ electronic band system
of the OD free radical.

OH

X1-3417

1973

128620e Calculated potential energy curves of hydroxyl radical. Easson, Ian; Pryce, M. H. L. (Dep. Phys., Univ. British Columbia, Vancouver, B.C.). *Can. J. Phys.* 1973, 51(5), 518-29 (Eng). A configuration-interaction calcn. of the electronic energies of the OH radical was performed by using from 34 to 46 configurations for the doublet states; and from 11 to 25 configurations for the quartet states. The results are presented for the 6 lowest states of $^2\Sigma^+$, $^2\Sigma^-$, $^2\Pi$, $^2\Delta$; $^4\Sigma^+$, $^4\Sigma^-$, $^4\Pi$, and $^4\Delta$ symmetries. The calcns. were performed for a range of inter-nuclear distances from 0.8 to 3 Å. The method of computation was designed to give the kind of accuracy for the lowest 3 or 4 states of each symmetry which could be useful in the empirical anal. of the hitherto unanalyzed spectrum of OH in the 1850 Å region.

cp-ign
nomenu.
Hg
Kb. ex.
paeris

C. A. 1973 78 N2D

ОН

XI -3417

аннекс 1831

1973

7 Д131. Расчеты кривых потенциальной энергии молекулы OH. Easson Гаn, Ргусе М. Н. L. Calculated potential energy curves of OH. «Can. J. Phys.», 1973, 51, № 5, 518—529 (англ.; рез. франц.)

Проведен расчет потенц. кривых молекулы OH на основе метода конфигурац. взаимодействия. Конфигурации строились из MO, образованных ортогонализацией по Шмидту 14 и 5 слэтеровских ф-ций, центрированных на атомах кислорода и водорода соответственно. Во всех использованных конфигурациях сохранялся постоянным остов $(1s)^2(2s)^2$, остальные 5 электронов распределялись среди 17 валентных орбиталей. При расчетах дублетных ф-ций использовалось максималь-

потенци.
Энерг.

φ. 1973. № 7

но 46 конфигураций для одного типа симметрии, в случае квартета использовалось 25 конфигураций, в остальных случаях число конфигураций колебалось между этими двумя предельными величинами. Рассчитано по 6 низколежащих электронных состояний следующих типов симметрии: $^2\Sigma^+$, $^2\Sigma^-$, $^2\Pi$, $^2\Delta$, $^4\Sigma^+$, $^2\Pi$, $^2\Delta$, $^4\Sigma^+$, $^4\Sigma^-$, $^4\Pi$ и $^4\Delta$. Потенц. кривые построены по 8 точкам, в которых проведен расчет. Межъядерное расстояние изменялось в пределах 0,8—3 Å. Для всех связанных электронных состояний определены равновесные межъядерные расстояния и энергия относительно основного состояния $X^2\Pi$. А. И. Дементьев

ОН

ХI-3417

Октябрь 1831

1973

16 Б11. Расчет кривых потенциальной энергии ОН.
Easson Iap, Ргусе M. H. L. Calculated potential
energy curves of OH. «Can. J. Phys.», 1973, 51, № 5,
518—529 (англ.; рез. франц.)

Методом конфигурац. взаимодействия рассчитаны по-
тенциальные кривые дублетных и квартетных состояний
ОН различной симметрии при восьми межъядерных рас-
стояниях (от 0,8 до 3Å) в базисе ортогонализованных
по Шмидту s -, p - и d -АО слейтеровского типа. Прове-
дено разделение АО на функции миним. базиса и до-
полнительные по отношению к нему. Показано, что по-
следние существенны в расчетах возбужденных состоя-
ний. Выбор конфигураций (34—46 для дублетных и
11—25 для квартетных состояний) обсужден с точки
зрения классификации АО и подтвержден пробными

($m_i, n_i; \xi_i$)

X. 1973. N16

расчетами. Оптимизация экспонент проведена так, что экспоненты орбиталей 1-го класса минимизируют энергию основного состояния E_1 , а 2-го — функцию от E_1 , E_2, \dots , в к-рой важность состояний учтена введением весов. Результаты для низколежащих электронных состояний с симметрией $^2\Sigma^+$, $^2\Sigma^-$, $^2\Pi$, $^2\Delta$; $^4\Sigma^+$, $^4\Sigma^-$, $^4\Pi$ и $^4\Delta$ сравниваются с эксперим. данными и результатами др. авторов. Для всех связанных электронных состояний определены равновесное межъядерное расстояние и энергия T_c относительно основного состояния $X^2\Pi$.

В. Я. Симкин

OH

Egger Kurt W.
Cocks Alan P

1973

25-1600

(Aé) "Helv. Chim. Acta"

1973, 56, N5, 1516-36

ОН
OD

и, и

тн

1973

1083
15

22Б120. Исследование состояния $A^2\Sigma^+$ радикалов: OH и OD методами пересечения уровней в нулевом поле и оптически-радиочастотного двойного резонанса. German K. R., Bergeman T. H., Weinstock E. M., Zage R. N. Zero-field level crossing and optical radio-frequency double resonance studies of the $A^2\Sigma^+$ states of OH and OD. «J. Chem. Phys.», 1973, № 58, № 10, 4304—4318. (англ.)

Методами оптич-МВ-двойного резонанса и пересечения уровней в нулевом поле (эффект Ханла) исследована тонкая структура уровней $V'=0, N'=2, J'=3/2$ и $V'=0, N'=1, J'=3/2$ радикалов OH и OD, соотв., в возбужденном электронном состоянии $A^2\Sigma^+$. Для возбуждения состояния $A^2\Sigma^+$ использовали резонансные линии

X. 1973 № 22

расрядных ламп, наполненных парами Zn и Ba для OH и OD соотв. По методу двойного резонанса определены значения g -фактора: $g(OH, F=1) = 0,498$, $g(OH, F=2) = 0,301$, $g(OD, F=5/2) = 0,383$. Эти значения согласуются с теор. и, полученными для случая « b_J » по Гунду. По эффекту Ханла (зависимость поляризации флуоресценции от напряженности внешнего магнитного поля) измерены радиац. времена жизни $\tau(OD) = 0,65 \pm 0,06$ мксек, $\tau(OH, N=2, J=3/2) = 0,58 \pm 0,05$ мксек. Пересмотрены также лит. данные по значениям τ и силы осциллятора f . Отмечено, что f_{00} перехода 0—0 составляет около 99% от полной силы осциллятора, а τ сильно зависит от вращательного состояния. N. P. A.

30719.8732
TE, Ch, Ph

OH

40892

6-10-70

X

Green Sheldon.

Dipole moment and hyperfine constants of
OD A $^2\Sigma^+$ from ab initio calculations.

"J. Chem. Phys.", 1973, 58, N 10, 4327-4330
(англ.)

0919 ник

901 902 0912

ВИНИТИ

ОН

* 45-3912

1973

6 Д535. Иракрасная эмиссионная спектроскопия высокого разрешения пламен низкого давления. Нап-сен Р., Стронг Ж., Ванре М., Видоад П. High resolution infrared emission spectroscopy of low pressure pre-mixed flames. «Infrared Phys.», 1973, 13, № 4, 327—332 (англ.)

Измерены эмиссионные спектры пламен ($\text{O}_2-\text{C}_2\text{H}_4$, H_2-Cl_2 и H_2-ClF_3) в области 500 см^{-1} . Получены точные значения волновых чисел и профили спектральных линий основного состояния ОН и HCl, а также ранее не исследовавшиеся линии спектра HF. Используемый спектрометр имеет щелочно-галогенную оптику и охлаждаемый жидким гелием детектор. Достигнутое разрешение для чисто вращательных линий HF, HCl, H_2O и OH составляет 0.1 см^{-1} . Ю. К. Бобров

Ф. 1974 № 6

Б 43

изменена
HCl, HF;

OH

Julienne P. S.

1973

Mol Galactic Environ

Proc Symp 1971 (Publ 1973)

353-73 (eng)

(au N°; III)



40522.7316
Ch, Ph, TE

OH 40604 02 1973
нб. инв. фас. № 4-4960.

K p. N 40522.7299

Karo Arnold, Krauss Morris, Wahl Arnold C.
Recent applications of the multiconfiguration self-consistent field method
to polarizabilities, excited states, Van der Waals forces, and triatomic surfaces.

"Int.J.Quant.Chem.Symp.", 1973, N 17, 343-159
(англ.)

088 095 = 107

ВИНИТИ

30711.6106

OH

Ph, Ch, TE, MGU

intens., Ei 50088

19-900

Klein Loether.

Strengths of the rotational lines of OH
($A^2 \Sigma - X^2\Pi$) and occupation of the molecular energy levels in arc plasmas.

"J. Quant. Spectrosc. and Radiat. Transfer",
1973, 13, N6, 581-594 (англ.)

888 890 0907 0914 никвичити

1973

OH

X¹-4132

138734a Calculation of Rydberg states of some diatomic molecules. Lefebvre-Brion, H. (Cent. Mec. Ondul. Appl., Paris, Fr.). *J. Mol. Struct.* 1973, 19(1), 103-7 (Eng). The virtual orbital method and the variational method for the calcn. of the Rydberg states were compared. The potential curves for the 1st ${}^1\Sigma^-$ and ${}^3\Sigma^-$ Rydberg states of OH were calcd. to be unstable.

(u.n.)

C.A. 1974. 80. n24.

ОН

XI - 4132

1973

рим.

4 Б22. О расчете ридберговских состояний некоторых двухатомных молекул. Lefebvre-Brion H. On the calculation of Rydberg states of some diatomic molecules. «J. Mol. Struct.», 1973, 19, № 1, 103—107 (англ.)

Проведено сравнительное изучение двух методов расчета ридберговских состояний двухатомных молекул, основанных на однодетерминантном приближении: 1) решение точных ур-ний Хартри—Фока для каждого отдельного состояния; 2) приближение виртуальных орбиталей. В случае иона с открытой оболочкой для выполнения условия самосогласования для ридберговской орбитали вводился учет конфигурац. взаимодейств.

расчет
ридберг-
Состояи.

х. 1975. №

вия между одновозбужденными ридберговскими состояниями. Метод применен к расчету $^2\Sigma$ - и $^4\Sigma$ -состояний OH. Показано, что эти состояния являются нестабильными. Обсуждены отличия ридберговских состояний от других возбужденных состояний двухатомных молекул.

Б. И. Жилинский

O_2 ; NF ; SO ; SeO ; H_2 ; OH ; CO_2 ; 1973
 NO ; Na_2 ; C^3 ; CN ; BaO ; C^3_2 ; y_2 ($^{0.030}$
crenata)
IX 4785

Levy D. H.

Adv. Magn. Resonance. Vol. 6. New-York
- London, 1973, 1-71/anns)

Gas phase magnetic resonance of electronically excited molecules.
Proc. Roy. Soc., 1975, 302 267 10

OH

1973

42626r Electric dipole moments of hydroxyl and hydroxyl-d radicals by molecular beam electric resonance. Meerts, W. L.; Dymatus, A. (Fys. Lab., Kathol. Univ., Nijmegen, Neth.). *Chem. Phys. Lett.* 1973, 23(1), 45-7 (Eng). The Stark shifts of hypersine A-doubling transitions originating from the $^3\text{H}_{1/2}$ levels of OH and OD were obsd. From these shifts, the elec. dipole moments were caled.: 1.6676(9)D for OH and 1.65312-(14)D for OD.

gun. moment

C.A.1974.80.n8

XV - 3525

1973

OH

2 Б170. О пересечении ${}^4\Sigma^-$ - и $A^2\Sigma^+$ -состояний в OH.
Palmer H. B., Naegeli D. W. On the crossing of the
 ${}^4\Sigma^-$ and $A^2\Sigma^+$ states of OH. «J. Chem. Phys.», 1973, 59,
№ 2, 994 (англ.).

Изучение
спектров

На основании исследования распределения интенсивности в спектре испускания OH (переход $A^2\Sigma^+ \rightarrow X^2\Pi$) установлено, что предиссоц. возмущение состояния $A^2\Sigma^+$ отвечает энергии 40 300 см⁻¹ (относительно минимума основного состояния $X^2\Pi$). Эта величина энергии совместно с известным термом ${}^4\Sigma^-$ позволяет вычислить точку пересечения этого терма с возмущающим. Эта точка отвечает межъядерному расстоянию 1,35 Å и совпадает с величиной, предложенной ранее на основании экспериментов по определению времени жизни колебательных состояний терма $A^2\Sigma^+$. Поскольку найденная величина межъядерного расстояния весьма близка к величине 1,40 Å, полученной иеэмпирич. расчетом пересечения ${}^4\Sigma^-$ и $A^2\Sigma^+$ термов, возмущающий терм, ответственный за предиссоциацию состояния $A^2\Sigma^+$, должен быть классифицирован как ${}^4\Sigma^-$.

Е. И. Дащевская

Х. 1974

N2

5-1661

OH

X¹-3575

1973

(M.R.)

85014m Crossing of the ${}^4\Sigma^-$ and $A^2\Sigma^+$ states of hydroxyl.
Palmer, H. B.; Naegeli, D. W. (Dep. Mater. Sci., Pennsylvania State Univ., University Park, Pa.). *J. Chem. Phys.* 1973, 59(2), 994 (Eng). A reply is made to the polemic of R. A. Sutherland and R. A. Anderson (*ibid.* 1973, 58, 1226) on the work of N. and P. (*J. Mol. Spectrosc.* 1967, 23, 44) and P. and N. (*J. Mol. Spectrosc.* 1968, 28, 417) concerning the predissocn. of OH- ($A^2\Sigma^+$).
55

C.A. 1973. 79 n 14

55-1661

ОН

XI - 3575

1973

12 Д207. О пересечении состояний ${}^4\Sigma^-$ и $A^2\Sigma^+$ радикала ОН. Palmer H. B., Naegeli D. W. On the crossing of the ${}^4\Sigma^-$ and $A^2\Sigma^+$ states of OH. «J. Chem. Phys.», 1973, 59, № 2, 994 (англ.)

исследование
крив

Указывается, что из работ авторов по изучению эмиссии системы $A^2\Sigma^+ \rightarrow X^2\Pi$ радикалов OH и OD следует, что пересечение потенц. кривой $A^2\Sigma^+$ с отталкивательной потенц. кривой ${}^4\Sigma^-$ имеет место при межъядерном расстоянии 1,35 Å и при энергии 40 300 см⁻¹ (относительно минимума основного состояния $X^2\Pi$). Б. Ф. Гордиец

бз - 1661

ф. 1973 N 12

40206.3711

TE, Ch, Ph, MGU

OH

96201

1973

1705

Politzer P., Elliott J.D., Meroney B.F.

Properties of atoms in molecules. A proposed method for calculating the

extent of distortion of an atom. "Chem.

Phys. Lett.", 1973, N 3, 331-334

(англ.)

025 025

УЗ1

0038 амк

ВИНИТИ

OH

1973

Rouze F.,

unpub.

These doct. sci.
doct. université. Phys. Univ. Claude
Bernard Lyon,
1973, 241 p.

(Cer. CO; III)

OH

1973.

J. Simons; W.D. Smith.

"J. Chem. Phys"

(Δe)

1973, 58, N11, 4899-4904.

"Theory of electron affinities
of small molecules"

OH

1973

Sinanoglu, Attila, Kubalek, J., Ondrej.

"J. Amer. Chem. Soc.", 1973, 95, 1017, 5459-5462.

Энергия
обрат

(ay. BH; III)

31211.8825

TE, Ch, Ph, MGU

04

40892

1973

3-2707

Tait K.S., Kolb C.E., Baum H.R.

and vibrational
Classical calculations of rotational exci-
tation in energetic atom-diatomic hydride
collisions.

"J.Chem.Phys.", 1973, 59, N 6, 3128-3137

(англ.)

1021 РИК

1005 1006

1014

ВИНИТИ

OH
SH
SeH

Синтез

XI - 3607

1973

25-5425. Спектры фотоотщепления электронов от анионов двухатомных гидридов. Walker T. E. N. The photodetachment spectra of diatomic hydride anions. «Chem. Phys. Lett.», 1973, 19, № 4, 493—496 (англ.)

Основное электронное состояние молекул АН (где $A = O, S$ или Se) является дублетным. Поэтому для процессов фотоотщепления электрона $AN^- ({}^1\Sigma^+) + h\nu \rightarrow AN ({}^2\Pi_{1/2}) + e^-$ и $AN^- ({}^1\Sigma^+) + h\nu \rightarrow AN ({}^2\Pi_{3/2}) + e^-$ следует ожидать наличия 2 энергетич. порогов. Соответствующее расщепление наблюдалось экспериментально лишь для SeH^- , для к-рого константа спин-орбитального взаимодействия в молекуле SeH $A = 1800 \text{ см}^{-1}$. Величины A для OH и SH равны соотв. -139 и -376 см^{-1} , что достаточно для обнаружения расщепления в фотонионизационных спектрах анионов OH⁻ и SH⁻. Однако в экспериментах это расщепление не наблюдается. Причиной этого является вращательное взаимодействие (ВВ) в промежуточном комплексе $AN + e^-$, из к-рого происходит отщепление электрона. С учетом ВВ произведены расчеты относит.

за

X. 1973 № 23

(+2)

вероятностей переходов в соответствующие конечные состояния комплекса и зависимостей сечений фотоотщепления электрона от избытка энергии фотона. Найдено, что расщепления для наиболее интенсивных Q -ветвей вращательной структуры спектров фотоионизации должны составлять 1674 см^{-1} при 1300°K и 1746 см^{-1} при 300°K для анионов SeH^- ; 244 см^{-1} для SH (между Q -ветвями спектра имеются еще 2 полосы значительной интенсивности, что делает возможным наблюдение 2 энергетических порогов лишь при высоком разрешении); 54 см^{-1} для OH . Таким образом, из-за ВВ расщепление между 2 наиболее интенсивными вращательными Q -ветвями сильно уменьшается по сравнению с величиной A , несмотря на то, что вращательные постоянные B для обоих конечных состояний близки. Учет ВВ приводит к появлению числа вращательных ветвей выше значения σ , предсказываемого простой теорией. В рассмотрении не учтены др. эффекты, способные изменять спектры фотоотщепления электронов — взаимодействие континуумной орбитали с колебаниями молекулы и вращательные взаимодействия высших порядков типа Л-удвоения, величина которого в $\text{OH} \sim 10 \text{ см}^{-1}$.

Б. Е. Скурат

41226.9071

OH, 50701 /03
(Co) mn x

1974

Ph, Ch, TC

IS-7711

Becker_K.H., Capelle G., Haaks D., Tarczyk T. Lebensdauermessungen an selektiv angeregten Zuständen von zweiatomigen Hydriden. "Ber. Bunsenges. phys. Chem.", 1974, 78, N 11, 1157-1160 (нем., рез. англ.) 0261.пик

248 248 - 253

ВИНИТИ

40402.3645

Ch, TE

OH (флуоресценция)

50701 02.

1974

Becker-K.H., Haaks D., Tatarczyk T.

Monitoring of radicals with a tunable
dye laser. "Ber. Bunsenges. phys. Chem.",

1974, 78, N 2, 204

(англ.) (ав. OH, T)

0076 инк

061 062

0069

ВИНИТИ

50218.9174

Ph, Ch, TC

Otf ^(E)
96205-2
нр диссертации 4-8128

1974

Beenakker C.I.M., Heer F.J.de, Krop H.B.,
Möhlmann G.R. Dissociative excitation
of water by electron impact.

"Chem. Phys.", 1974, 6, N 3, 445-454

(англ.)

0305 лин

278 280

1297

ВИНИТИ

OH

*4-5659

1974.

IX-4741

M.N; J;

Blastia Wall., Edmont. Coll.,
S. Glorié Cos. Pasadena, California,
1974, Part 2, p. 15, 325-35.

(cer. dig^t; ")

Blustein P.H., Linnett J.W.,
J. Chem. Soc. Faraday Tricent.,
1974, Part 2, 70, N5, 837-52

10. 6

1974

OH

(μ)

Brus R.E., Person W.B.,

J. Chem. Phys., 1974, 61,
61, 115, 1779-81.

(eas. LiH; III)

41018.6813

Ph, Ch, TC

OH

96615

02

1974

2593

Caralp_Louis, Cavalier Jean-Claude.Détermination des géométries d'équilibre
et des constantes de forces par une
méthode de type CNDO. "J. Mol. Struct.",

1974, 23, N 1, 153-160

(англ.)

0215 пик

186 187

0207

ВИНИТИ

1974

ОН

8 Д919. Исследование кинетического поведения OH($X^2\Pi$ и $A^2\Sigma^+$) методом молекулярной резонансной флуоресценции. Clyne Michael A. A., Down Stephen. Kinetic behaviour of OH $X^2\Pi$ and $A^2\Sigma^+$ using molecular resonance fluorescence spectrometry. «J. Chem. Soc. Faraday Trans.», 1974, Part 2, 70, № 2, 253—266 (англ.)

Описан метод исследования кинетики радикала OH($X^2\Pi$, $v=0$) в проточной разрядной системе. Оценка конц-ии OH производилась методом молекулярной резонансной флуоресценции (переход $A^2\Sigma^+ - X^2\Pi$ (0,0)). Определены сечения тушения OH($A^2\Sigma^+$) водой, азотом,



Д. 1974. № 8

аргоном и гелием. Интенсивность резонансной флуоресценции прямо пропорциональна конц-ии $\text{OH}(\text{X}^2\Pi, v=0)$ вплоть до конц-ий $5 \cdot 10^{14} \text{ см}^{-3}$. Распад радикалов OH при общем давлении $120 \text{ м} \cdot \text{м}^{-2}$ обусловлен в основном

реакцией $\text{OH} + \text{OH} \xrightarrow{k} \text{H}_2\text{O} + \text{O}$ и гибелю на стенке. Константа скорости реакции (k), определенная двумя независимыми методами, равна для т-ры 300°K $(1,4 \pm 0,2) \cdot 10^{-12} \text{ см}^3 \cdot \text{молекула}^{-1} \cdot \text{сек}^{-1}$. Из сопоставления полученных результатов с данными более ранних исследований получено среднее значение $k = (1,7 \pm 0,6) \cdot 10^{-12} \text{ см}^3 \cdot \text{молекула}^{-1} \cdot \text{сек}^{-1}$. Библ. 37. И. Дворников

OH

N-4393 KU - 8118

1974

12 Б13. Неэмпирическое исследование $X^2\Pi$ и $A^2\Sigma^+$ -состояний OH. I. Потенциальные кривые и свойства.
Chu Shih-I., Yoshimine M., Liu B. Ab initio study of the $X^2\Pi$ and $A^2\Sigma^+$ states of OH. I. Potential curves and properties. «J. Chem. Phys.», 1974, 61, № 12, 5389—5395 (англ.)

(4, II.)
Методом конфигурац. взаимодействия (КВ) проведен расчет потенциальных кривых молекул OH в электронных состояниях $X^2\Pi$ и $A^2\Sigma^+$. Одночастичный базис состоял из функций слейтеровского типа: (O, $5s4p3d1f/H$, $4s3p2d$). Банк КВ был отобран путем предв. расчета многоконфигурац. ССП с исследующей оценкой по первому порядку теории возмущений наиболее существенных конфигураций. При построении конфигураций использовались также приближенные натуральные орбитали, полученные с помощью теории возмущений. В итоге,

X. 1975. N 12

расчет каждой потенциальной кривой ОН состоял из 4 шагов: 1) расчет в приближении многоконфигурац. метода ССП; 2) расчет КВ с ограниченным набором конфигураций, построенных на основе только валентных орбиталей ССП; 3) отбор наиболее существенных конфигураций и построение натуральных орбиталей, 4) завершающий расчет методом КВ. На последнем этапе КВ было использовано 7311 и 3965 конфигураций для $X^2\Pi$ и $A^2\Sigma^+$ состояний, соотв. Получены след. величины спектроскопич. характеристик ОН (в скобках указаны эксперим. значения): $R_e(X^2\Pi) = 1,841$ (1,834) ат. ед.; $R_e(A^2\Sigma^+) = 1,906$ (1,913) ат. ед.; $D_e(X^2\Pi) = 4,43$ (4,63) эв; $D_e(A^2\Sigma^+) = 2,29$ (2,53) эв; $\mu(X^2\Pi, \gamma=0) = 1,634$ (1,668) D. Рассчитаны также значения квадрупольных моментов и градиенты электрич. поля на ядрах.

А. Дементьев

гам
Х К'

OH

X-4393

* 43-8118

1974

15953a Ab initio study of the $X^2\Pi$ and $A^2\Sigma^+$ states of the hydroxyl radical. I. Potential curves and properties. Chu, Shih-I; Yoshimine, M.; Liu, B. (Cent. Astrophys., Harvard Coll. Obs., Cambridge, Mass.). *J. Chem. Phys.*, 1974, 61(12), 5389-95 (Eng). The CI wave functions, potential energy curves, and 1-electron properties are presented. The calcd. equil. internuclear sepn. (R_e , in bohrs), dissoci. energy (D_e , in eV), and dipole moment (μ , in D) in the $v = 0$ vibrational state, resp., are: OH($X^2\Pi$), 1.841, 4.43, 1.634; OH($A^2\Sigma^+$), 1.906, 2.29, 1.875. Calcd. values are also given for OD. The spectroscopic consts. for OH and OD calcd. from the theor. potential curves agree satisfactorily with the available exptl. data. The other mol. properties calcd. include the quadrupole moments and the elec. field gradients at the nuclei.

(full. n)
(rb. ext.
partem)

C.A. 1975 83 N2

ОН

*У-8118

ХI - 4393

1974

Д163. Неэмпирическое исследование $X^2\Pi$ - и $A^2\Sigma^+$ -состояний OH. I. Кривые потенциальной энергии и свойства. Chu Shih-I, Yoshimine M., Liu B. Ab initio study of the $X^2\Pi$ and $A^2\Sigma^+$ states of OH. I. Potential curves and properties. «J. Chem. Phys.», 1974, 61, № 12, 5389—5395 (англ.)

Методом конфигурац. взаимодействия (КВ) рассчитаны термы и молекулярные свойства $X^2\Pi$ - и $A^2\Sigma^+$ -состояний радикала OH. Волн. ф-ция системы представлялась в виде разложения по n -частичному базисному набору т. наз. ф-ций состояния конфигурации (ФСК), которые, в свою очередь, строились в виде линейной комбинации слэтеровских детерминантов, состоящих из подобранных по симметрии ф-ций элементарного базиса. Все ФСК выбраны с учетом спиновой и орбитальной симметрии полной системы. Расчет был разбит на следующие этапы:

М.Н.
До
Кривые
Потенци.
Энерг.

99 1975 N 6

1) КВ-расчет с ограниченным набором ФСК, дающим качественно правильное поведение терма; 2) расчет в 1-ом порядке теории возмущений с использованием волн. ф-ций КВ, полученных на 1-ом этапе, с целью отбора ФСК для построения базиса n -частичной волн. ф-ции для конечного КВ-расчета; 3) КВ-расчет с ф-циями, полученными на 2-ом этапе, упорядоченными по симметрии и в порядке уменьшения чисел заполнения и обрезанными 12 σ -, 9 π -, 6 δ - и 1 φ -типами орбиталей. Найдены потенц. кривые, спектроскопич. постоянные и зависимости от расстояния дипольного и квадрупольного момента. Рассчитанные энергии диссоциации $X^2\Pi$ - и $A^2\Sigma^+$ -термов отличаются от экспериментальных соответственно на 0,2 и 0,24 эв. Отмечается, что это различие может быть уменьшено при расширении одночастичного базиса.

А. Зембеков

ОН

октябрь 2070 1974
ХЛ-4046

18 Б1153. Определение сродства к электрону OH,
NH₂, NH, SO₂ и S₂ методом лазерного фотоотщепления
электрона. Celotta R. J., Bennett R. A., Hall J. L.
Laser photodetachment determination of the electron affi-
nities of OH, NH₂, NH, SO₂, and S₂. «J. Chem. Phys.»,
1974, 60, № 5, 1740—1745 (англ.)

Ae

На установке со скрещенными лазерным лучом и пуч-
ком отрицат. ионов OH⁻, NH₂⁻, NH⁻, SO₂⁻, S₂⁻ изуче-
ны энергетич. распределения электронов, возникающих
в процессе фотоотщепления. Использовали лазер на
ионах аргона с фиксированной частотой. По распреде-
лению определены величины сродства к электрону (эв):
OH 1,829 (+0,010; -0,014); NH₂ 0,779±0,037; NH 0,38±
±0,03; SO₂ 1,097±0,036; S₂ 1,663±0,040. Измерен также
параметр β анизотропии углового распределения фото-
электронов при 4880 Å, оказавшийся равным -0,993±
±0,040 и 0,027±0,012 для OH⁻ и NH₂⁻ соотв. Получены
данные о колебательных константах отрицат. ионов.

B. E. Скурат

(+4)

☒

окт. 1974
N18

ОН

отмечен 2070

1974

ХЛ-4046

8Д431

Определение сродства к электрону OH, NH₂, NH, SO₂ и S₂ методом лазерного фотоотрыва. Celot-
ta R. J., Bennett R. A., Hall J. L. Laser photodetach-
ment determination of the electron affinities of OH, NH₂,
NH, SO₂ and S₂. «J. Chem. Phys.», 1974, 60, № 5, 1740—
1745 (англ.)

(Аē)

) Исследовались энергетич. спектры электронов, полу-
ченных в результате фотоотрыва от ионов OH⁻, NH₂⁻,
NH⁻, SO₂⁻ и S₂⁻ под воздействием излучения ионного
Аг-лазера. Полученные значения сродства к электрону
для OH, NH₂, NH, SO₂ и S₂ равны соответственно:
1,829; 0,779; 0,38; 1,097 и 1,663 эв. Для OH⁻ и NH₂⁻ из-
мерен параметр анизотропии углового распределения
электронов, возникающих при облучении светом с
 $\lambda=4880 \text{ \AA}$, равный, соответственно, $-0,993 \pm 0,040$ и
 $0,027 \pm 0,012$. Библ. 21

И. Дворников

Ф. 1974. N8

☒

+4

+1 м.с.

ОН

1974

Константа
квадрат.
рекации.

) 18 Б968. Кинетическое поведение $\text{OH}X^2\Pi$ и $A^2\Sigma$ при помощи молекулярной резонансно-флюоресцентной спектроскопии. Clyne Michael A. A., Down Stephen. Kinetic behaviour of $\text{OH}X^2\Pi$ and $A^2\Sigma^+$ using molecular resonance fluorescence spectrometry. «J. Chem. Soc. Faraday Trans.», 1974, Part 2, 70, № 2, 253—266 (англ.)

Поточная система с резонансно-флюоресцентной регистрацией радикалов OH использована для определения константы скорости квадратичной гибели радикалов. Радикалы OH $X^2\Pi$ образовывались в реации $\text{H} + \text{NO}_2 \rightarrow \text{OH} + \text{NO}$. Резонансно-флюоресцентный спектр имеет наибольшую интенсивность в области 306,5

Х. 1974 N 18

312 мкм и содержит, главным образом, тонкую вращательную структуру полосы 0,0 системы $A^2\Sigma^+ \rightarrow X^2\Pi$. Константа скорости тушения состояния $A^2\Sigma$ при 300°К составляет $(2,7 \pm 0,3) \cdot 10^{-10} - (1,2 \pm 0,3) \cdot 10^{-11}$; $< 5 \cdot 10^{12} \text{ см}^3 \text{ молекула}^{-1} \cdot \text{сек}^{-1}$ для тушения H_2O , N_2 и Ar и He соответственно. Для константы скорости квадратичной рекомбинации радикалов OH получено значение $(1,7 \pm 0,6) \cdot 10^{-12} \text{ см}^3 \text{ молекула}^{-1} \cdot \text{сек}^{-1}$. Точность определения этой величины существенно зависит от точности определения константы скорости р-ции распада $\text{OH} \rightarrow 1/2\text{H}_2 + 1/2\text{O}_2$.

Л. Ю. Русин

41014.8793
Ch, Ph, TC

40892
02

1974

OH

2554

Dayis, M.G., McGregor W. ■ K., Mason A.A.

OH ■ chemiluminescent radiation from lean
hydrogen-oxygen flames.

"J. Chem. Phys.", 1974, 61, N 4, 1352-1356

(англ.)

0211 ПИК

183 184 - 203

ВИНИТИ

OH

XI-3969

1974

15 Б328. Новый анализ микроволнового спектра радикала гидроксила. Destombès Jean-Luc, Magalière Claire, Rohart François, Burie Jean. Nouvelle analyse du spectre hertzien du radical hydroxyl. «С. г. Acad. sci.», 1974, B278, № 8, 275—278 (франц.)

м.н.

На шарковском спектрометре измерены и затем идентифицированы два основных перехода А-удвоения радикала ^{16}OH в состоянии $^2\Pi_{3/2}$ с $I=13/2$ в области 52 700 Мгц. На основе полученных и известных из литературы данных определены по методу наименьших квадратов 3 постоянных центробежного искажения и 4 постоянных сверхтонкого магнитного взаимодействия. По составленной программе рассчитаны частоты переходов А-удвоения с точностью не хуже 170 кгц для $^2\Pi_{1/2}$ и $^2\Pi_{3/2}$ состояний с I от $7/2$ до $17/2$. Точность расчета ниже точности эксперим. измерений. С. Н. Мурзин

Х 1974 N 15

1974

XI-3969

OH

7 Д172. Новый анализ микроволнового спектра гидроксильного радикала. Destombes Jean-Luc, Margière Claire, Rohart François, Burie Jean. Nouvelle analyse du spectre hertzien du radical hydroxyl. «С. г. Acad. sci.», 1974, В278, № 8, 275—278 (франц.)

С учетом спин-орбитального взаимодействия и центробежного искажения выполнен теоретич. анализ микроволн. спектра радикала OH. В базисе волн. ф-ций случая «а» Гуида составлена матрица электронно-вращательной энергии и точным методом диагонализации вычислены частоты переходов между компонентами А-удвоения вращательных уровней с $J=1/2 \div 17/2$ основного электронного состояния $^2P_{1/2,3/2}$. Из сравнения вычисленных и измеренных частот дана идентификация наблюдаемых частот и определены значения молекулярных параметров OH.

М. Р. Алиев

φ 1974 n7

OH

X7-3969

1974

(u.n.)

126406g New analysis of the Hertzian spectra of the hydroxyl radical. Destombes, Jean L.; Marliere, Claire; Rohart, Francois; Burie, Jean (Lab. Spectrosc. Hertzienne, Univ. Sci. Tech. Lille, Villeneuve d'Ascq, Fr.). *C. R. Acad. Sci., Ser. B* 1974, 278(8), 275-8 (Fr). The Hertzian spectrum of the ^{16}OH radical was measured with a Stark modulation spectrometer, and the principal transitions of the Λ splitting, corresponding to the $J = 13/2$, were identified. A least squares anal. gave the magnetic hyperfine interaction and centrifugal distortion consts. as $D = 117.4$, $D_s = 108.8$, $\delta = -50.7$, $a = 85.7$, $b = -116.8$, $c = 144.5$, and $d = 56.4$ MHz. The $F-F'$ transition frequencies of the $^3\Pi_{1,2}$ and $^3\Pi_{2,3}$ states were calcd. to $J \leq 17/2$.

C.A. 1974. 80 n 22

OH

YI-4434

1974

SO

(A facessens)

105002γ Zeeman modulation devices for microwave spectroscopy of free radicals. Destombes, Jean L.; Marliere, Claire; Rosseels, Pierre (Lab. Spectrosc. Hertzienne, Univ. Lille 1, Villeneuve d'Ascq, Fr.). *J. Phys. E* 1974, 7(12), 996-8 (Fr). Two Zeeman modulation devices are described. In the 1st one, the magnetic field in a solenoid is square-wave modulated at 1 kHz. The 2nd one uses 2 orthogonal sets of Helmholtz coils. The direction of the magnetic field is sine modulated at 12.5 kHz and its amplitude may be chosen in the 0-10-G range. The resoln. and the sensitivity of the app. made it possible to measure new Δ doubling transitions of OH. The Zeeman splitting in the earth magnetic field was also obsd. on the SO radical.

(+)

C. A. 1975. 82. N 16

1974

OH

X 45-45CJ

OD

annulus 2273

(u, n.)

X 4081

138867w Absorption of hydroxyl in the 1200 Å region.
 Douglas, A. E. (Div. Phys., Natl. Res. Counc. Canada, Ottawa,
 Ont.). *Can. J. Phys.* 1974, 52(4), 318-23 (Eng). A strong
 absorption band of OH was obsd. near 1221 Å. From the anal.
 of the high resoln. spectra, it was detd. that the upper state is a
 Σ^+ -Rydberg state. The consts. of the OH and the corresponding
 OD state were obtained. The new absorption band will give
 interstellar absorption lines of OH at 1221.166, 1222.071, and
 1222.524 Å. New consts. also were detd. for the $A^*\Sigma^+$ and
 $X^*\Pi$ states of CD.



C.A. 1974. 20. N24

OH

OD

спектр
поглощ.
(и.н.)

отиск 2273

* 4-4500

1974

16 Б167. Спектр поглощения молекулы OH в области 1200 Å. Douglas A. E. Absorption of OH. in the 1200 Å region. «Can. J. Phys.», 1974, 52, № 4, 318—323 (англ., рез франц.)

В спектре поглощения продуктов электрич. разряда в парах воды, сфотографированием с задержкой в несколько микросекунд, найдена интенсивная полоса OH ~1221 Å. Анализ тонкой структуры спектра показывает, что верхним состоянием является ридберговское состояние $^2\Sigma^-$. Для него получены постоянные (в см^{-1}): $T_0=81797,95$; $B_0=15,2179$; $D_0=16,16 \cdot 10^{-4}$; $\gamma=-0,293$. Аналогичные данные получены для OD. К новой полосе OH относятся линии поглощения межзвездного газа 1221,166, 1222,071 и 1222,524 Å. Отмечено, что линии поглощения OH и OD расположены так, что оптич. иакачка линией H 1215 Å невозможна. Приведены волновые числа линий и вращательных термов.

Д. И. Катаев

Х. 1974 N 16



OH

отдел 2273 № 45-4500

1974

мн. 4081
ХI

8 Д452. Поглощение OH в области 1200 Å. Doug-
las A. E. Absorption of OH in the 1200 Å region. «Can.
J. Phys.», 1974, 52, № 4, 318—323 (англ.; рез. франц.)

В спектре поглощения радикала OH обнаружена но-
вая сильная полоса при 1221 Å. В результате анализа
спектра установлено, что верхним является состояние
 $^2\Sigma^-$. Вычислены молекулярные константы этого состоя-
ния и аналогичного состояния радикала OD. Приведены
уточненные значения молекулярных постоянных состоя-
ний $A^2\Sigma$ и $X^2\Pi$ радикала OD. Предполагается, что наи-
более сильные линии этого перехода могут проявлять-
ся в поглощении радикала OH в межзвездном прост-
ранстве. Библ. 9.

И. Дворников



+1

OD



ф.1974.№8

40508.6067

Ch, Ph, TE

40892

6/2

1974

OH

2110

Ducas T.W., Javan A.

Measurement of microwave fine structure
 in OH infrared transitions using frequency mixing with metal-to-metal infrared diodes. "J.Chem.Phys.", 1974, 60, N4,
 1677 (англ.)

086 087

ВИНИТИ

IX-4902 * 8-8255. 1974

parameters of H, J, D of C₂, CN, CO, N₂, NO,
O₂, PO, H₂, LiH, BeH, BH, CH, NHOH, HF)

Engelke S.Z., Beckel C.L.,

Int. J. Quant. Chem., Symp., 1974,

N8, 209-217

Extended nickel B parameters.
applied to (1) 10 diatomic molecules
Ping Yuen, 1975, 11524

40304.8874
TE, Ch, Ph

OH

30526

-1474
1876

Haritharan P.C., Pople J.A.

Accuracy of AH_n equilibrium geometries by
single determinant molecular orbital
theory.

"Mol. Phys.", 1974, 27, N 1, 209-214

(англ.)

0057 МКМ

036 039

050

ВИНИТИ

Зак 6020

1974.

OH

Hirshfeld F.L., et al.

facrem
woodleyi.

Mol. Phys., 1974, 27, 115,
1319-1343.

(J.d. Hollnagel)

(act. diff, III)

OH

1974

Hoflop H, et al.

Ae

carne

opibus

partim cum Sc

older glass Specimen

1974, 6, 287-93 (eng)

(cut Sc; II)

OH

декабрь 2067

1974

OD

(A \bar{e})

~~ХД430~~ Исследование при высоком разрешении фототрыва электронов от ионов OH⁻ и OD⁻ в пороговой области 7000—6450 Å. Hotop H., Patterson T. A., Lineberger W. C. High resolution photodetachment study of OH⁻ and OD⁻ in the threshold region 7000—6450 Å. «J. Chem. Phys.», 1974, 60, № 5, 1806—1812 (англ.)

С помощью перестраиваемого узкополосного (0,5—1 Å) лазера на красителе исследован фототрыв электрона от ионов OH⁻ и OD⁻ в спектральной области 7000—6450 Å. Из детального сопоставления наблюдаемых сечений с результатами модельных расчетов получены значения сродства к электрону: для OH и OD, соответственно, (14723 ± 15) см⁻¹ и (14703 ± 15) см⁻¹. Наблюдаемый изотопный эффект для сродства к электрону может быть почти целиком приписан различию в положении самых нижних вращательных уровней в OH(²P_{3/2}) и OD(²P_{3/2}). Библ. 20.

И. Дворников

д. 1974. № 8



1974

OH

X4-6436

XI-4281

(u.n)

S4056f Molecular constants of vibrationally excited hydroxyl radical from electron paramagnetic resonance. Lee, K. P.; Tam, W. G. (Cent. Rech. At. Mol., Univ. Laval, Quebec, Que.). *Chem. Phys.* 1974, 4(3), 434-9 (Eng). OH radicals in the vibrational states $v = 5$ to $v = 9$ of the ground $^2\text{H}_{3/2}$, $J = 3/2$ state were detected by EPR at λ -band frequencies. From an anal. of the complete spectra, 5 mol. parameters were obtained for each v . By adopting Van Vleck's hypothesis of pure precession, λ_v and the matrix element $\langle \text{IL}^1 \text{BL}_1 | \Sigma \rangle$ were detd.

C.A. 1974. 81. N14

40508.6012

TE, Ph, Ch

40892

C2

OH ($^2\pi$)

1974

X 45-4901

Lie George C., Clementi Enrico.

Study of the electronic structure of molecules. XXI. Correlation energy corrections as a functional of the Hartree-Fock density and its application to the hydrides of the second row atoms. CM. IIIONI
"J. Chem. Phys.", 1974, 60, N4, 1275-1287

41101.6607
TC, MGU, Ch

OH / *нотенукр.
96615 02
Ригдеп. сост.)*

1974

2652

Lefebvre-Brion H. On the calculation
of Rydberg states of some diatomic
molecules. "J. Mol. Struct.", 1973, 19,
N 1, 103-107
(англ.)

0225 пик

198 199

ВИНИТИ

1974

HO

Lovas F.J., et al.

J. Phys. and Chem. Ref. Data,
1974, 3, 609-769.

W.D.

(cur. Bal; H_2)

41226.0085
Ph, Ch, TC

OH 50701 03

1974

* 4-7710

Mann_B., Neikes T., Schmidt E., Luck
W.A.P. Matrix-Isolationsspektroskopie
an H₂O und D₂O im Infrarot- und fernen
Infrarotgebiet. "Ber. Bunsenges. phys.
Chem.", 1974, 78, N 11, 1236-1241

(нем., рез. англ.)

0201 РИИ

248 248 -253 285 ВИНИТИ

ОН

XV-4359

1974

4 Д173. Исследования эффектов электронной корреляции методами ПНО-КВ и ПСЭП. Ч. II. Потенциальные кривые и функции дипольного момента радикала ОН. Meyer Wilfried. PNO-Cl and СЕРА studies of electron correlation effects. II. Potential curves and dipole moment functions of the OH radical. «Theor. chim. acta», 1974, 35, № 4, 277—292 (англ.)

($\alpha_i, \beta_i, \gamma_i, \delta_i$) Проведены неэмпирич. расчеты потенц. кривых (ПК) и ф-ций дипольного момента (ДМ) низших электронных состояний радикала ОН. Использовались вариац. метод с учетом взаимодействия конфигураций (КВ), построенных из псевдонатуральных орбиталей (ПНО) (РЖФиз, 1972, 6Д160), и приближение связанных электронных пар. (ПСЭП) (РЖФиз, 1973, 7Д157).

Сост. проф. канд. →

Ф. 1975. № 4

Спектроскопич.

постоянные и частоты колебаний хорошо согласуются с экспериментом для основного состояния $^2\Pi$ и несколько хуже для возбужденных состояний $^2\Sigma^+ + \text{OH}$, $^3\Sigma^- - \text{OH}^+$. Проанализированы корреляционные вклады в ионизационный потенциал (ИП), энергию перехода $^2\Pi \leftrightarrow ^2\Sigma^+$ и величину электронного сродства и улучшена оценка энергии диссоциации и ИП. Рассмотрено пересечение ПК отталкивательных состояний $^4\Sigma$, $^4\Pi$ с ПК $^2\Sigma^+$, согласие с экспериментом неудовлетворительное. Ход кривой ДМ и равновесное значение для $^2\Pi$ хорошо согласуются с экспериментом. Делается вывод, что ПСЭП превосходит любой вариаци. метод с КВ, учитывающим только дваждызамещенные конфигурации.

М. С. Борисов

OH

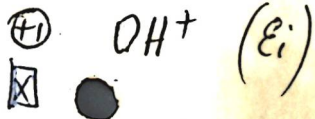
XI-4359

1974

9 Б20. Изучение эффектов электронной корреляции
методом ПНО-КВ ПСЭП. Meyer Wilfried. PNO—
Cl and CEP A studies of electron correlation effects. II.
Potential curves and dipole moment functions of the OH
radical. «Theor. chim. acta», 1974, 35, № 4, 277—292
(англ.)

μ, h, ϵ_i

Методом конфигурац. взаимодействия (КВ) с исполь-
зованием псевдонатуральных орбиталей (ПНО) в прибли-
жении связанных электронных пар [(ПСЭП), см. пред.
сообщ. РЖХим, 1973, 15Б42] проведен неэмпирич. расчет



Х. 1975 № 9

потенциальных кривых низколежащих электронных состояний радикала OH. Использован базис гауссовых функций $1s$, $2p$, $2d$ и $1f$ на атоме O и $5s$, $2p$ и $1d_{\sigma}$ на атоме H. Волновая функция основного состояния $^2\Pi$ включала 208 конфигураций, дающих вклад не меньше, чем 10^{-4} ат. сд. и построенных из 251 ПНО. Для основного состояния найдены след. значения молек. постоянных, $R_e = 0,972$ ($0,971$) Å, $\omega_e = 3742$ (3739) см $^{-1}$, $D_e = 4,35$ ($4,63$) эв, $\mu = 1,686$ ($1,66$) D. В скобках даны эксперим. значения. В том же базисе рассчитаны первое возбужденное состояние OH с симметрией $^2\Sigma^+$ [$T_{^2\Pi - ^2\Sigma^+} = 32690$ (32440) см $^{-1}$] и основное состояние $^3\Sigma^-$ катиона OH $^+$. Рассмотрена возможность преддиссоциации OH из-за пересечения потенциальной кривой $^2\Sigma^+$ с отталкивателльной кривой $^4\Sigma^-$; рассчитанное положение точки пересечения не совпадает с положением, найденным по данным об интенсивностях. По кривым дипольного момента основного состояния рассчитаны вероятности некоторых ИК-переходов.

В. Я. Симкин

OH

1974

Morimoto et al.

Mr. B. check

Tenmon Beppo

1974, 67(10) 301-5 (Jap.)

• (see. HCN; III)

41119.1856

TC, Ph, Ch

OH

X-4493

29864 02

1974

2777

Murrell John N., Sorbie Kenneth S. New
 analytic form for the potential energy
 curves of stable diatomic states.

"J. Chem. Soc. Faraday Trans.", 1974,
 Part 2, 70, N 9, 1552-1556

(англ.)

(au. HF, III)

0236 ПИК

216 219 228

ВИНИТИ

X7-5295

1974

OH

ChE&Kmp

162386a Numerical calculations of uv emission and absorption spectra of hydroxyl radicals. Neer, Michael E. (Technol. Inc., Dayton, Ohio). U. S. N. T. I. S., AD Rep. 1974, No. 786021/6GA, 147 pp. (Eng). Avail. NTIS. From Govt. Rep. Announce. (U. S.) 1974, 74(24), 71. The report presents the details and uses of computer program designed to predict the uv emission and absorption spectra of OH assocd. with combustor flowfields. The intended purpose of the computer program is to facilitate the development of spectroscopic diagnostic techniques for specific application to supersonic mixing and combustion. The math. models used to represent the emitting and absorbing gas are given. Geometry and app. considerations are discussed, as well as calibration procedures. The computation scheme is outlined including the basic modes of operation, and the manner in which input data are submitted is explained. The various uses of the computer program are demonstrated and comparisons are made with exptl. spectra. Two graphical inversion techniques are also presented, 1 of which can be used to obtain radial profiles of temp. and OH no. d. from an axisym. combustor flowfield. A listing of the computer program and a partial printout are included.

C.A. 1975, 82 N 24

1974

ОН | Вопрос по научно-иссл. работе
ИЗГИАН, отмеч N8.

и.п. | "Прециодесналические сб. ба
арта, водорода и их соедине-
ний"

OH

* 45-7279

1974

6 Б247. Взаимодействия между нижними валентными состояниями радикала OH. Smith Wm. Hauden, Elmetergreen Bruce G., Brooks Neil H. Interactions among the lower valence states of the OH radical. «J. Chem. Phys.», 1974, 61, № 7, 2793—2799 (англ.)

Чтобы выяснить происхождение наблюдаемой экспериментальной преддиссоциации в состоянии $A^2\Sigma^+$ -OH, рассчитано перекрывание колебательных волновых функций связывающего уровня в состоянии $A^2\Sigma^+$ с колебательным континуумом состояний OH, возникающих из основного электронного состояния разделенных атомов. Сильная зависимость от вращательного квантового числа обнаружена для перекрывания состояний $a^4\Sigma^-$ и $X^2\Pi$ с состоянием $A^2\Sigma^+$. След. отсюда значения ширины преддиссоциирующих уровней сравниваются с эксперим. данными. Хорошее согласие достигается, если предположить, что безызлучательные переходы из состояния $A^2\Sigma^+$, уменьшающие его заселенность, происходят, гл. обр., в состояние $a^4\Sigma^-$. Сравнивается с лит. данными зависимость момента перехода от межъядерного расстояния. Отмечается связь проведенного анализа с проблемой образования OH из двух атомов.

Резюме

х. 1975. №

ОН

Ху-7279

1924

4 Д454. Взаимодействие между нижними валентными состояниями радикала OH. Smith Wm. Hayden, Elmegreen Bruce G., Brooks Neil H. Interactions among the lower valence states of the OH radical. «J. Chem. Phys.», 1974, 61, №7, 2793—2799 (англ.)

предиссекция

С целью выяснения причины предиссоциации нижних колебательных уровней состояния $A^2\Sigma^+$ радикала OH рассчитано перекрывание колебательных волн-ф-ций связанных уровней с колебательными континуумами состояний, образованных из норм. атомов. Расчитанные ширины предиссоциации согласуются с эксперим. значениями, если предположить, что состояние $a^4\Sigma^-$ доминирует в безызлучательной депопуляции $A^2\Sigma^+$. Получена зависимость величины момента перехода от межъядерного расстояния. Библ. 33.

И. Дворников

оф. 1975. N4

179239g

1974

OH

179239g Interactions among the lower valence states of the hydroxyl radical. Smith, William Hayden; Elmergreen, Bruce G.; Brooks, Neil H. (Princeton Univ. Obs., Princeton, N.J.). *J. Chem. Phys.* 1974, 61(7), 2793-9 (Eng). In order to define the origins of exptl. obsd. predissocns. within the $A^2\Sigma^+$ state of OH, overlaps were computed of the bound level vibrational wave functions in the $A^2\Sigma^+$ state with the vibrational continua of states of OH arising from the ground electronic state sep'd. atoms. Rapid variation of overlap with rotational quantum no. occurs for the $a^4\Sigma^-$ and $X^2\Pi$; states with the $A^2\Sigma^+$ state. The resulting predissocn. widths are compared with the exptl. data and reproduce it by assuming that the $a^4\Sigma^-$ state dominates in radiationless depopulation of the OH $A^2\Sigma^+$ state. The dependence of the transition moment upon internuclear distance is derived, and compared with previous results. Implications of this anal. in terms of the 2 body formation of OH are indicated.

negative

C.A. 1974. 81 v26

ОН

Ху-7700

1974

4 Д258. Исследование потенциальной кривой и дипольного момента основного состояния ОН методом оптимизированных валентных конфигураций. Stevens Walter J., Das G., Wahl Arnold C., Krauss Morris, Neumann David. Study of the ground state potential curve and dipole moment of OH by the method of optimized valence configurations. «J. Chem. Phys.», 1974, 61, № 9, 3686—3699 (англ.)

Методом оптимизированных валентных конфигураций (ОВК) рассчитаны потенциальная кривая и кривая дипольного момента (ДМ) состояния $X^2\Pi$ радикала ОН. Теоретич. значение энергии диссоциации 4,53 эв близко к эксперим. 4,63 эв. Для ДМ при эксперим. длине связи получено 1,674 ед. Дебая (наиболее надежное эксперим. значение $1,66 \pm 0,01$ ед. Дебая). Подробно обсуждается метод ОВК как специфич. применение самосогласованной многоконфигурац. теории.

М. С. Борисов

(помещ.),
Кривая, м)

Ху-7700

Ф. 1975. NY

XI-4358

1974

OH

917341 Ground state potential curve and dipole moment of hydroxyl by the method of optimized valence configurations. Stevens, Walter J.; Das, G.; Wahl, Arnold C.; Krauss, Morris; Neumann, David (Argonne Natl. Lab., Argonne, Ill.). *J. Chem. Phys.* 1974, 61(9), 3686-99 (Eng). Accurate theor. potential-energy and dipole-moment curves are presented for the $X^2\Pi_u$ state of the hydroxyl radical. The theor. detd. dissoen. energy is 4.53 eV compared to the exptl. value of 4.63 eV. The computed dipole moment at the exptl. equil. internuclear sepn. is 1.674 D, which is in excellent agreement with the most reliable exptl. value of 1.66 ± 0.01 D. A detailed, general prescription for constructing optimized valence-configuration wave functions for diat. hydrides is presented with OH as a specific example.

*nonethe
Krauss*

C.A 1875 82 N10

41014.8733
Ch, Ph, TC

40892 02 1974

OH

KU-6831

Trainor Daniel W., von Rosenberg C.W.,
Jr.

Flash photolysis study of the gas phase
recombination of hydroxyl radicals.

"J. Chem. Phys.", 1974, 61, N 3, 1010-1015

(англ.)

0211 ник

181 181

2203

ВИНИТИ

ОН

№ 45 - 5979

1974

12 Д708. Определение распределения заселенности в основном состоянии ОН с помощью перестраиваемого по частоте УФ-лазера. Wang Charles C., Davis L. I., Jr. Ground-state population distribution of OH determined with a tunable uv laser. «Appl. Phys. Lett.», 1974, 25, № 1, 34—35 (англ.)

определ.
распред.
заселен-
ности.

В пламени методом лазерной флуоресценции измерено распределение заселенности в основном электронном состоянии OH. Использован перестраиваемый по частоте УФ-лазер, настроенный на длины волн, соответствующие переходу $^2\Pi(v=0) \rightarrow ^2\Sigma^+(v=1)$ радикала OH. Для различных т-р получены экспоненц. ф-ции распределения заселенности. Отмечено, что данная методика, обеспечивающая пространственное, временное и спектральное разрешение, может быть успешно применена для изучения динамики неравновесных процессов в условиях взрыва.

Т. Н. Т.

Ф. 1974 N 12

OH

1975

Accioly C.S.R., et al.

J. Phys. B: Atoms and
mol. phys., 1975, 8, N18,
2987 - 94.

(b. circ.)

macrocell

21.04.1984

effuck 3789

(all BH) III

Pacem u.n. (CH₃, NH⁺, OH, FH⁺, CF, 1975
NO, O₂⁺, BeH, BH⁺BeF, BO, CN, CO⁺,
N₂⁺, C₂, BH, NH, OH⁺, C₂) IX-5750

Abegg P.W.,

mol. phys., 1975, 30, v2, 573-596 (corr.)

Ab initio calculation of spin-orbit
coupling constants for gaussian
basis and gaussian-type wave func-
tion.

Publ. 1976, 3542

40 (Coll. CH₃; $\tilde{\nu}$) 30

50721.4245

TC,Ch,Ph

29864

OH

1975

* 8-9475

Blustin Peter H. & Linnett John W.

Applications of a simple molecular wave-function. Part 7. FSGO open-shell calculations on first-row polyatomic hydrides and hydride ions. "J.Chem.Soc. Faraday Trans.", 1975, 71, N 5, Part 2,
1058-1070 (англ.)

0443

ВИНИТИ

379 382

405

X144281975
CH, CF, NO, O_2^+ , CCR, CRC, -
 C_2^+ , F_2^+ , HF $^+$, OH, CO_2^+ , BO_2 , N_3 , H_2O^+ , NCO (kb. uex. pacrem)
Cesky P., Kuhn J., Zahradník

(com. 4/2/3)

R.: J. Mol. Spectrosc., 1975, 55 (1-3)

120-30
Semiempirical all-valence-
electron MO cal. correlations

C.A. 1975.82W26.1773632

(cell. CH; III)
10. O^{10} O^{18}

OH (Do, z, & cur. noem, Kb. Mex. 1975
pacem)

Caruto S. R. Vyanna J. D.M.
J. Phys. B, 1975, 8, (18)
2987-94.

C.A. 1976. 84. N12

80007e (ref emp)

50509.4741

Ch, Ph, TC, MGU

флуорес. спектр
96201OH ($\tilde{\Lambda}^2\Sigma^+$)

1975

4066

Chamberlain G.A., Simons J.P. Polarised photofluorescence excitation spectroscopy: a new technique for the study of molecular photodissociation. Photolysis of H₂O in the vacuum ultraviolet. "Chem. Phys. Lett.", 1975, 32, N2, 355-358
 (англ.)

0382 ник

351 351

(all. H₂O; III)

ВИНИТИ

1975

КУ - 9525

ОН

11 Д148. Относительные вероятности переходов и электронный момент перехода для системы А—Х радикала ОН. Crosley David R., Lengel Russell K. Relative transition probabilities and the electronic transition moment in the A—X system of OH. «J. Quant. Spectrosc. and Radiat. Transfer», 1975, 15, № 7—8, 579—591 (англ.)

изотопы

полос

(f_{mn})

Измерены относит. интенсивности отдельных вращательный линий полос с $v' = 0,1$ и 2 системы электронного перехода А—Х радикала OH в спектре резонансной флуоресценции, селективно возбужденной перестраивающимся лазером на красителе. Полученные значения интенсивностей полос согласуются с вычисленными по известным факторам Франка—Кондона, а получение значение полного дипольного момента P зависит от межъядерного расстояния линейно. — М. Р. Алиев

41

⊗

ф. 1975 г. 11

ОН

XI-4562

1975

12 Д375. Микроволновый спектр гидроксильного радикала в состояниях $^2\Pi_{3/2}$ и $^2\Pi_{1/2}$ с $J \geq 7/2$. Destombes Jean-Luc, Journel Géagard, Margrière Claire, Rohart François. Spectre micro-onde du radical hydroxyl dans les états $^2\Pi_{3/2}$ et $^2\Pi_{1/2}$ pour $J \geq 7/2$. «С. р. Acad. sci.», 1975, 280, № 25, B809—B811 (франц.; рез. англ.)

Мин.

В диапазоне 7—71 ГГц измерен микроволни. спектр радикала OH. Идентифицированы линии 21 перехода с $J=7/2 \div 15/2$ состояния $^2\Pi_{3/2}$ и 4-х переходов с $J=11/2$ и $13/2$ состояния $^2\Pi_{1/2}$. Анализ спектра выполнен с учетом тонких и сверхтонких магн. взаимодействий и определены значения молекулярных констант, которые мало отличаются от литературных данных. М. Р. Алиев

д. 1975 № 12

1975

ОН

з Б327. Измерение сверхтонкого расщепления в спектре OH радикала методом радиочастотного микроволнового двойного резонанса. Destombes J. L., Margière C. Measurement of hyperfine splitting in the OH radical by a radio-frequency microwave double resonance method. «Chem. Phys. Lett.», 1975, 34, № 3, 532—536 (англ.)

(vi)

Методом РЧ—МВ-двойного резонанса измерена магнитная сверхтонкая структура Λ удвоения OH радикала в $^2P_{3/2}$ -состоянии для $F=9/2$ и $F=7/2$. Определены частоты переходов при $F=9/2$ для двух РЧ и четырех МВ переходов и при $F=7/2$ для одного РЧ и двух МВ и еще двух МВ с помощью правила сумм. Измеренные частоты согласуются с измерениями и расчетами др. авторов. Экспериментально изучена зависимость формы сигнала от настройки на частоту и насыщения РЧ перехода. Полученные зависимости хорошо описываются теорией двойного резонанса. С. Н. Мурзин

X. 1976 № 3

OH

24 №240. Микроволновый спектр радикала гидроксила в ${}^2\Pi_{3/2}$ и ${}^2\Pi_{1/2}$ состояниях для $J \geq 7/2$. Destombes Jean-Luc, Journel Gérard, Margière Clai-
re, Rohart François. Spectre micro—onde du radi-
cal hydroxyl dans les états. ${}^2\Pi_{3/2}$ et ${}^2\Pi_{1/2}$ pour $j \geq 7/2$.
«C. r. Acad. sci.», 1975, 280, № 25, B809—B811 (франц.;
рез. англ.)

1975

Измерен МВ спектр радикала гидроксила OH в ${}^2\Pi_{3/2}$ состоянии для $J = 7/2, 9/2, 11/2, 13/2, 15/2$ и в ${}^2\Pi_{1/2}$ состояниях для $J = 11/2, 13/2$ в области частот от 8 до 71 ГГц и радиочастотный спектр в ${}^2\Pi_{3/2}$ состоянии для $J = 7/2, 9/2$ в области частот от 7 до 22 МГц. Из анализа спектра определены 5 постоянных тонкой структуры, 4 постоянных сверхтонкой структуры и 3 постоянных центробежного искажения. С помощью корреляц. матрицы установлено, что одна из постоянных центробежного искажения D_{Π} сильно коррелирует с постоянной тонкой структуры. Т. обр., в расчетах достаточно использовать 2 постоянных центробежного искажения D и δ . Приведенные молек. постоянные позволяют рассчитать частоты МВ переходов с точностью около 250 кГц. Полученные результаты согласуются с данными других авторов.

С. Н. Мурзин

x/1975 N 24

* 48 - 8263

1975

HO

Dewar M. J. S. et al.

(7)

Theor. chim. acta " 1975, 36,
237- 39.

Vertical ionization potentials...



(e.g. CH₃; H⁺)

60129.8474

Ch, Ph, TC

40892

OH (шнур)

1975

3730

German K.R.

Radiative and predissociative lifetimes
of the $V'=0, 1$ and 2 levels of the $A^2\Sigma^+$
state of OH and OD.

"J.Chem.Phys.", 1975, 63, N 12, 5252-5255

055 (англ.)

523 528

542

ВИНИТИ

60129.7322

Ph,Ch,TC

40604

1975

ДМ знерніс сьми
(нб. нех. паср)

2744

К Р. № 60129.7289

Hall G.G.

Charges and bond energies in the analysis
of quantum chemistry calculations.

"Int.J.Quantum Chem.Symp.", 1975, N 9,
279-284

(англ.)

525 528

0550 ГИК

ВИНИТИ

1975

OH

21 Б151. Гашение флуоресценции и колебательная релаксация уровня ($A^2\Sigma^+$, $v=1$) OH. Hogan P., Davis D. D. Electronic quenching and vibrational relaxation of the OH($A^2\Sigma^+$, $v'=1$) state. «J. Chem. Phys.», 1975, 62, № 11, 4574—4576 (англ.)

Измерены времена тушения флуоресценции (T) и колебат. релаксации τ состояния ($A^2\Sigma^+$, $v=1$) молекулы OH в смеси с Ar, N₂, He, H₂. Обнаружено, что время гашения не зависит от кратности возбужденного уровня. Величину τ уровня $v=1$ определяли из времен затухания флуоресценции при узкополосном и широкополосном возбуждении. Обнаружено, что $3\tau_{Ar} \approx T$ и $T \sim 5\tau_{N_2}$. τ уровня $v=1$ не сильно отличается от τ $v=0$, что согласуется с имеющимися в лит. данными.

Б. Г. Антипов

x 1975 № 21

OH

(u.r.h)

XI-4572

1975

87519m Calculation of hydroxide molecular state:
 Hydroxyl formation during collisions of oxygen(-) and hydrogen atom. Huron, B.; Tran Minh, Fr. (DEPEG, Obs. Meudon, Meudon, Fr.). *Astron. Astrophys.* 1975, 38(1), 165-7 (Fr). In adiabatic collision between H atom and O⁻ in their ground state 2S and 2P , the mol. states $^1\Pi$, $^1\Sigma$, $^3\Pi$, $^3\Sigma^+$ of OH- can be formed. By taking into account the splitting of O⁻ state in $^2P_{1/2}$ and $^2P_{3/2}$, it is found that the mol. states $^1\Pi$, $^1\Sigma$ and 5 substates out of 6 of the $^3\Pi$ state are correlated with the lowest O⁻ state $^2P_{3/2}$. The potentials curves of the OH- mol. states were calcd. by using the CIPSI method (Huron, B., et al. 1974), these curves show, (for the states $^1\Pi$ and $^3\Pi$) a min. for a internuclear distance close to equil. distance of $^1\Sigma^+$ state. The electronic transition energy calcd. for $^1\Pi - X^1\Sigma^+$ is 19,430 cm⁻¹. The electronic transition moment of $^1\Pi - X^1\Sigma^+$ is calqd. as a function of the internuclear distance. By using the value of the measured electronic affinity of O and OH, the Rydberg-Klein-Rees potential curve of $X^2\Pi$ state of OH, is compared with the calcd. potential curves, this one crosses the $^1\Pi$ and $^3\Pi$ states on each side of their min., these crossing confirm that $^1\Pi$ and $^3\Pi$ are autodetachment states. All these results show that the reaction $O^- + H \rightarrow OH + e^-$ must be considered again for the OH formation in interstellar matter.

(nomenus.
Крибце)

C. S. 1975
83 n 10

41

Typ bulyi. 0

OH

paerem
clausen

Jordan R.D.

1975

"Chem Phys Lett" 1975,
" 33, N2, 340-343 (am).

(see HF. III)

H-O

01000. 4824

1975

Kerr J. A., et al.

Handbook Elec. Phys.,
55-th Ed., 1974-75

(See)

ОН

1975

20 Б160. Зависимость колебательной релаксации OH
 $A^2\Sigma^+$ от вращательного состояния. Lengel Russell K., Crosley David R. Rotational dependence of vibrational relaxation in $A^2\Sigma^+$ OH. «Chem. Phys. Lett.», 1975, 32, № 2, 261—264 (англ.)

По зависимости интенсивности отдельных электронно-колебательно-вращательных линий спектра флуоресценции радикала OH, селективно возбужденного лазером на красителе в состояния $A^2\Sigma^+$ с $v'=1$ и $N^i=0, 3$ и 5 (радикалы OH получали по р-ции между H_2O и NO_2 , инициированной микроволни. разрядом). Показано, что при добавлении газов He, Ar, H₂, D₂ или N₂ к смеси H_2O+NO_2 в спектре флуоресценции появляются новые линии, соотв-щие переходам из состояний, заселенных за счет столкновений радикалов OH с молекулами посторонних газов, а скорость колебательной релаксации $v^i=1 \rightarrow 0$ почти в 2 раза уменьшается с ростом N^i от 0 до 5.

М. Р. Алиев

Колебательная
релаксация

д. 1975 № 20

OH

XIS-11223

1975

Popescu
Cucurachi
Venezuela

84: 67265t A study of pressure broadening in the Λ -doubling microwave spectrum of a Hund's coupling case(b) molecule. Lurie, B. N.; Anderson, J. M. (Dep. Chem., Bryn Mawr Coll., Bryn Mawr, Pa.). *Chem. Phys. Lett.* 1975, 36(5), 614-17 (Eng). The collisional transfer matrix for the Λ -doubling microwave transitions of a Hund's coupling case (b) mol. with spin of 1/2 is constructed. Collision cross sections, absorption line shapes, and spectral line widths are calcd. for OH in the $^3\Pi$ electronic state.

C.A. 1976, 84 n10

ОН

11 Б112. Изучение сверхтонкой структуры А-дублета молекул OH, OD, SH, SD методом электрического резонанса в молекулярных пучках: Meerts W. L., Dumanus A. A molecular beam electric resonance study of the hyperfine A doublet spectrum of OH, OD, SH, and SD. «Can. J. Phys.», 1975, 53, № 19, 2123—2141 (англ.; рез. франц.).

1975

Сборник
материалов
Симпозиума

Метод электрического резонанса в молекулярных пучках использован для определения частот переходов между компонентами СТС А-дублета свободных радикалов OH, OD, SH, SD, находящихся в $^2\Pi$ -состоянии. Полученные спектры интерпретированы в терминах теории возмущений при наличии вырождения. В качестве гамильтонiana нулевого приближения использован перелятивистский электронный гамильтониан молекул в приближении Борна — Оппенгеймера, в качестве возмущения — спин-орбитальное взаимодействие, вращательный и гироскопический члены, приводящие во 2-м порядке теории возмущений к А-удвоению, сверхтонкое взаимодействие, взаимодействие дипольного момента молекулы с электрическим полем. Идентификация измеренного спектра с рассчитанным путем диагонализации четырехкратной матрицы энергии позволило определить постоянные ТС и СТС, дипольные моменты молекул. Полученные результаты хорошо согласуются с опытными данными. И. В. Лебедь

г 1976
н 11

XU-11190

1975

OH

OD

SH

SD

(min.)

84: 37109c Molecular beam electric resonance study of the hyperfine Λ doubling spectrum of hydroxyl, hydroxyl-di, sulphydryl, and sulphydryl-di. Meerts, W. L.; Dymanus, A. (Fys. Lab., Kathol. Univ., Nijmegen, Neth.). Can. J. Phys. 1975, 53(19), 2123-41 (Eng). The mol. beam elec. resonance method was employed to obtain a complete set of hyperfine Λ doubling transitions of the free radicals OH, OD, SH, and SD. The obsd. spectra could be explained very well by the degenerate perturbation theory adapted to the $^2\Pi$ state. The exptl. results include fine and hyperfine coupling consts., the elec. dipole moments could be explained very well by the degenerate perturbation theory adapted to the $^2\Pi$ state. The consts. agree well with ab initio calcns.

(+1) cleo.s. nejmca

C.A. 1976, 84, 116

1975

OH

OD

SH

SD

спектр
λ-удвоен.

5 Д533. Изучение спектра сверхтонкого Λ -удвоения OH, OD, SH и SD с помощью метода электрического резонанса на молекулярных пучках. Meerts W. L., Dymans A. A molecular beam electric resonance study of the hyperfine Λ doubling spectrum of OH, OD, SH, and SD. «Can. J. Phys.», 1975, 53, № 19, 2123—2141 (англ.; рез. франц.)

Метод электрического резонанса на молекулярных пучках использован для исследования спектра сверхтонкого Λ -удвоения свободных радикалов OH, OD, SH и SD. Показано, что теория возмущений 3-го порядка для вырожденного состояния позволяет рассчитывать спектры, хорошо согласующиеся с экспериментальными результатами для OD, SH и SD. Для OH различие между рассчитанными и экспериментальными переходами превышает экспериментальные ошибки. Указывается, что константы сверхтонкой структуры, электрические дипольные моменты, полученные из экспериментальных данных, хорошо согласуются с результатами неэмпирических расчетов. Библ. 45.

А. П. Калинин

Ф. 1976, N 5

(+)

☒

1975

OM

Meyer W. et al.

J. Chem. Phys., 1975, 63,

(M. n.)
pacrem

NG, 2356 - 2375

X. 1976. N3

Cu LiH : III
1 -

OH

1975

M.N.; Ae; J
Kb. Mex
pacrem

131177d PNO [pseudonatural orbitals]-CI and CEPA [coupled electron pair approximation] studies of electron correlation effects: II. Potential curves and dipole moment functions of the hydroxyl radical. Meyer, Wilfried (Inst. Phys. Chem., Univ. Mainz, Mainz, Ger.). *Theor. Chim. Acta* 1974, 35(4), 277-92 (Eng). Ab initio calcns. of the potential curves of the low-lying electronic states of OH were performed by a PNO-CI wave function and the CEPA. The ground state potential curve obtained deviates from the Rydberg-Klein-Rees curve by <200 cm⁻¹ in the region 0.7-1.6 Å. The ground state consts. were calcd. to be $r_e = 0.972 \text{ \AA}$, $B_e = 18.85 \text{ cm}^{-1}$, $\alpha_e = 0.727 \text{ cm}^{-1}$, $\omega_e = 3742 \text{ cm}^{-1}$, $\omega_e x_e = 85.3 \text{ cm}^{-1}$, $\mu_0 = 1.686 \text{ D}$, $D_e = 4.35 \text{ eV}$, ionization potential 12.78 eV, electron affinity 1.51 eV, and ν_{00} ($^2\Pi \leftrightarrow ^2\Sigma^+$) = 32,690 cm⁻¹. The correlation contributions to ionization, excitation, and electron attachment were analyzed. Dipole moment expectation values and some ir transition probabilities were calcd.

C.A. 1975, 82 N 20

51103.5269

Ph, Ch, TC, MGU

96201

$O H (2\pi_g, v \leq 9)$

1975

XG-10548

Nansen D. Alan, Pitts J.N., Jr. Chemiluminescent emissions from the gas phase reactions of ozone with acetylene and allene.

"Chem. Phys. Lett.", 1975, 35, N4, 569-573

(англ.)

465 465 471

0473 аукционити

OH

стбо

7 Д284. Рекомбинация частиц в результате процесса, обратного предиссоциации молекул (ударно-радиационная рекомбинация). Полак Л. С., Словецкий Д. И. «Теор. и эксперим. химия», 1975, 11, № 1, 16—25

предиссоциации

исследование

Получены ф-лы для расчета коэф. скорости ударно-радиационной рекомбинации тяжелых частиц и сопровождающей ее хемилюминесценции. Ф-лы получены с учетом спонтанных и индуцированных столкновениями переходов. Результаты расчета коэф. скорости радиационной рекомбинации атомов удовлетворительно согласуются с эксперим. данными. Коэф. скорости хемилюминесценции в различных случаях по-разному зависит от давления, что дает возможность исследовать характер предиссоциационного перехода и определить вероятность предиссоциации. Применение метода продемонстрировано на примере предиссоциации радикала OH(A^2e^+). Табл. 2. Библ. 14.

Автореферат

φ 1975 N7

OH

1975

Popke J. A.

"Solid Phys" 1975 29
N2, 599-611 (air)

окись
кремния

(air H₂; $\frac{1}{11}$)

OH

ommex A-2948 1975

Pagser A.H.

(cl.n; Do
♀, exuvia)

B cd. "Xanthus repletus"
1975, Jan 2, 3-61
U., Amánuigám.



51124.6733

Ch, Ph, TC, MGU

95200

OH ($A^2 \Sigma^+$)

1975

#4-10628

Tsurubuchi Seiji. Correlation diagrams
for electronic states of H_2O and frag-
ment species. "Chem. Phys.", 1975, 10,
N 2-3, 335-344
(англ.)

0507 ГИК

478 479 19.9.8

ВИНИТИ

annex 3408

1975

OH

105769z Sensitization of the hydroxyl($A^2\Sigma^+ \rightarrow X^2\Pi_i$) emission by mercury(6^3P_0) metastables. Vikis, A. C. (Dep.

Chem., Univ. Toronto, Toronto, Ont.). *Chem. Phys. Lett.* 1975, 33(3), 506-11 (Eng). The electronic energy transfer process $Hg(6^3P_0) + OH(X^2\Pi_i, v = 0, K) \rightarrow Hg(6^1S_0) + OH(A^2\Sigma^+, v, K)$ was studied by the sensitized fluorescence method. A rather broad spectrum of rotational population, N_{vK} , was obtained under conditions of minimum relaxation, which illustrates the nonresonant and nonoptical nature of this energy transfer process. The fractions of the exoergicity, above electronic excitation of $OH(A^2\Sigma^+, v = 0, K = 0)$, going into vibrational, rotational and translational excitation are 0.11, 0.31, and 0.58, resp. A statistical mode of energy partitioning, such as would result from long-lived complex formation, seems to account well for these observations.

C. A. 1975. 83. N12

OH

узконаправленном виде.

2 Д809. Сенсибилизированное возбуждение излучения OH ($A^2\Sigma^+ \rightarrow X^2\Pi_J$) метастабильными атомами Hg(6^3P_0). Wikis A. C. Sensitization of the OH($A^2\Sigma^+$) $\rightarrow X^2\Pi_J$) emission by Hg(6^3P_0) metastables. «Chem. Phys. Lett.», 1975, 33, № 3, 506—511 (англ.)

Исследован процесс переноса электронной энергии возбуждения при взаимодействии метастабильных атомов ртути Hg(6^3P_0) с радикалами OH($X^2\Pi_J$) с образованием радикалов OH($A^2\Sigma^+$) (I) при облучении потока газовой смеси Hg(6^1S_0) + H₂O + M (M = He, N₂; t = 75° C). Проведен анализ спектра флуоресценции радикалов I в условиях малой скорости ударной релаксации их энергии возбуждения. Получены кривые распределения за-селенности вращательных уровней колебательных состояний I: $v' = 0,1$, а также данные о сечениях релаксации колебательной и вращательной энергии возбуждения радикала I, сколеб «вращ» < 1 Å²(He), 2 Å²(N₂). Показано, что образование I протекает при участии долгоживущего комплекса (HgOH)*, причем доли энергии возбуждения Hg(6^3P_0), переходящие в колебательную, вращательную и кинетич. энергии радикала OH($A^2\Sigma^+$) соотносятся как 0,11; 0,31 и 0,58. А. М. П.

спектр
флюоресценции

Ф1976 №2

спектр 340

спектр 340

спектр 340

50318.7207
Ch, Ph, TC

OH

40892

1975

245-8309

Wang Charles C., Davis L.I., Jr.

Two-photon dissociation of water: a new OH source for spectroscopic studies.

"J.Chem.Phys.", 1975, 62, N 1, 53-55

(англ.)

0323 ПИК

292 297

ВИНИТИ

OH

1975

Winter Nicholas

exemplos
empoeue

"Chem Phys Lett" 1975, 33,
N 1, 25-29 (amw)

(am HCO₃; $\frac{m}{M}$)

OH

КУ-10018

1975

2 Д430. Измерение распределения населения по вращательным уровням OH ($A^2\Sigma^+$) в экспериментах с пересекающимися пучками и фотодиссоциацией H₂O под действием излучения линии H α серии Лаймана. Yamashita Iwao. Crossed-beam experiment on rotational population distribution of OH($A^2\Sigma^+$) split from H₂O by Lyman alpha photon impact. «J. Phys. Soc. Jap.», 1975, 39, № 1, 205—212 (англ.)

В экспериментах со скрещенными молекулярным и световым пучками измерено начальное распределение населения по колебательным уровням радикалов OH ($A^2\Sigma^+$), образующихся при фотодиссоциации H₂O излучением линии H α серии Лаймана (1216 Å). В качестве интенсивного монохроматич. источника света использован плазменный факел, образующийся при добавлении H₂ в поток Ar плазмы, истекающей со сверхзвуковой скоростью сквозь сопло Лаваля в вакуумную камеру. Приведено подробное описание конструкции и пара-

1976 N2

метров установки. Распределение населенности характеризуется узкой асимметричной кривой с максимумом для значений вращательных квантовых чисел $K = 17 \div 22$ и незначительной населенностью нижних уровней. Эти данные сопоставлены с результатами аналогичных измерений в методе газовой мишени. Отмечено, что последние существенным образом зависят от условий проведения эксперимента и отличаются от полученных в данной работе. Предположено, что эти различия являются следствием вторичных процессов образования OH ($A^2\Sigma^+$) при взаимодействии таких долгоживущих продуктов фоторазложения воды как OH ($X^2\Pi$), O ('D) и H (2S) при их движении в газовой мишени. Библ. 25.

С. Л.

Li_2 , C_2 , BH , BH^+ , CH , CH^+ , NH , OH , OH^+ ,
 FH , FH^+ (cav. rocm; pacem) BX-85/

1976

Arce F., Casado Y., Rios M.A.; Tato V;

An. Quim. 1976, 72(6), 505-8.

Theoretical study of force constants.
III. Interatomic forces in diatomic
molecules. (cell. Li_2 ; III)

C.A. 1976, 85, n22, 168984C

10



Fig. 13177

1976

OH

S4: 185093h A nearly exact MCSCF + CI calculation of the dissociation energy of hydroxyl. Arnold, J. O.; Whiting, E. E.; Sharbaugh, L. F. (Ames Res. Cent., NASA, Moffett Field, Calif.). *J. Chem. Phys.* 1976, 64(8), 3251-3 (Eng).
(No ref.)
exptl. value
The dissoen. energy and dipole moment of the ground state of OH was obtained with a newly developed multiconfiguration, self-consistent field plus configuration interaction CDC 7600 computer program. The computed value of the dissoen. energy is 4.62 eV, which is within the uncertainty limits for the exptl. value of 4.63 ± 0.01 eV. The computed value of the dipole moment is 1.645 D, which is very close to the exptl. result of 1.66 ± 0.01 D. The results are also compared to the data obtained from similar calcns. with the BISON-MC computer program.

C.A. 1976, 84, N26

ОН

xis. 13177

1976

9 Д115. Почти точный расчет энергии диссоциации ОН методом МК ССП с учетом конфигурационного взаимодействия. Arnold J. O., Whiting E. E., Sharbaugh L. F. A nearly exact MCSCF+Cl calculation of the dissociation energy of OH. «J. Chem. Phys.», 1976, 64, № 8, 3251—3253 (англ.)

(25)
расч.

Методом ССП МО ЛКАО в многоконфигурационном (МК) приближении (17-конфигурационная волни. ф-ция) проведен расчет OH. При эксперим. длине связи 1,8342 ат. ед. энергия диссоциации оценена в 4,56 эв (эксперим. значение $4,63 \pm 0,01$). Последующий расчет методом конфигурационного взаимодействия с учетом всех одно- и двукратновозбужденных конфигураций (всего 61) привел к энергии диссоциации 4,62 эв, что согласуется с эксперим. значением с точностью до ~~плюс~~ плюс ~~минус~~ момента по-

01976 № 9

ошибок эксперимента. Для диполя ...
лучено значение 1,645 ед. Дебая (эксперим. величина
 $1,66 \pm 0,01$). Подробно обсуждено асимптотич. поведе-
ние энергии диссоциации как ф-ции числа учитываемых
взаимодействующих конфигураций. Полученные резуль-
таты сопоставлены с данными расчетов методом опти-
мизированных валентных конфигураций и по схеме
BISON в многоконфигурационном приближении. Сде-
лан вывод, что современные методы расчета двухатом-
ных молекул позволяют получать столь же надежные
результаты, что и тонкие трудоемкие лабораторные
эксперименты.

В. Л. Лебедев

OH

1976

-45- 13177

(Dо.)

18 Б29. Почти точный расчет энергии диссоциации OH методом МКССП+КВ. Agnold J. O., Whiting E. E., Sharbaugh L. F. A nearly exact MCSCF+Cl calculation of the dissociation energy of OH. «J. Chem. Phys.», 1976, 64, № 8, 3251—3253 (англ.)

Проведен расчет электронной энергии и дипольного момента молекулы OH в основном электронном состо-

ж. 1976, 18

янии при межъядерных расстояниях 1,8342; 4,0 и 10,0 ат. ед. Первый этап расчета выполнен в приближении многоконфигурац. метода ССП (МКССП) с включением 17 конфигураций; второй этап — в рамках метода конфигурац. взаимодействия (КВ) с волновой функцией, представленной 61 конфигурацией, каждая из к-рых построена на орбиталах метода МК ССП. Исходный базис АО состоял из расширенного набора слайтеровских функций s -, p -, d - и f -типа. Полученное в результате значение энергии диссоциации 4,62 эв совпадает с эксперим. значением $4,63 \pm 0,01$ эв в пределах ошибки эксперимента; значение дипольного момента $1,645 D$ также близко к эксперим. значению $1,66 \pm 0,01 D$.

А. Дементьев

OH

* 45-15578

1976

Bischoff P.

(5)

J. Amer. Chem. Soc.
1976, 98, n^o22, 6844-49.

OH

1946

Broyer, M., et al

Adv. Atom. and Mol. Phys.

Vol. 12. New York e.a., 1976,

165-213

copy:

ontarioas
madera

Ae-(Li, Na, Cl, F, OH) of. 5107 1977

Cederbaum L.S., Schönhammer K,
von Niessen W., BX-563

Phys. Rev. A: Gen. Phys.; 1977, 15, No.
833-842 (aus).

Electron affinities by a variation-
perturbation approach.

(cell. Li, III)

Aug 29, 1977, 92/24

10

(cp)

8.

ОН

1976

1Д470. Уширение микроволновых линий свободного радикала гидроксила при давлении. Bustreel R., Destombes J. L., Margière C. Pressure broadening of the hydroxyl free radical microwave lines. «Chem. Phys. Lett.», 1976, 42, № 1, 154—157 (англ.)

Исследовано уширение при давлении переходов $^2\Pi_{3/2}, J=9/2$ А-удвоения радикала OH. Найдены параметры ширины линий при столкновении с молекулами NO_2 и H_2O $a_{\text{OH}, \text{NO}_2} = 3,1 \pm 0,4$ и $a_{\text{OH}, \text{H}_2\text{O}} = 9,2 \pm 0,6$ МГц.

Библ. 26.

Р 1974 № 1

ОН

1976

З Б239. Уширение вследствие давления микроволновых линий свободного радикала гидроксила. Busteel R., Destombes J. L., Margrière C. Pressure broadening of the hydroxyl free radical microwave lines. «Chem. Phys. Lett.», 1976, 42, № 1, 154—157 (англ.)

Измерено уширение вследствие давл. двух МВ-линий $^2P_{3/2}$, $J=9/2$, $F=4\rightarrow 4$ и $F=5\rightarrow 5$ радикала OH в присутствии примесных газов NO₂ и H₂O. Использовался высокочувствительный МВ-спектрометр с модуляцией СВЧ-излучения источника. Для параметров уширения в присутствии примесных газов NO₂ и H₂O, соотв. получены значения: $3,1 \pm 0,4$ и $9,2 \pm 0,6$ МГц/мм. В использовавшемся диапазоне давлений 15—60 мм конц-ия OH радикала в присутствии примесных газов оставалась приблизительно постоянной. Оценка на основе полученных данных приводит к результатам, к-рые согласуются с лит. данными. Полученные результаты могут быть использованы при интерпретации межзвездных молек. спектров.

С. Н. Мурзин

Уширение
микроволновых линий

Х. 1977. № 3

OK

(Inv. 37808)

1976

Clyne M.A.A., Mc Dermid T.F.
and (in part) A.H. Lier-
weghs.
201-215,
Anyorecs. J. Photochem., 1976, 5,

The Spectroscopic Detection

of Molecular Species Using
Scanning Narrow - Band
Dye Laser.

OH

оттиск 44/75

1976

20 Б950. Столкновения и сечения тушения состояния $A^2\Sigma^+ + OH$ и OD . German K. R. Collision and quenching cross sections in the $A^2\Sigma^+$ state of OH and OD. «J. Chem. Phys.», 1976, 64, № 10, 4065—4068 (англ.)

Радикалы OH, возникающие в р-ции $H + NO_2 \rightarrow OH + NO$, возбуждались лазером в одно из колебательных состояний терма $A^2\Sigma^+$, и по перераспределению интенсивности флуоресценции определялись сечения тушения этих состояний, а также сечения колебательной релаксации. Для буферных газов H_2 , N_2 , и O_2 сечения тушения составляют для $v=0$ соотв. ~ 7 , $3,5$ и 12 A^2 и несколько увеличиваются при переходе к возбужденным колебательным уровням. Отмечается также, что сечения колебательных переходов с $\Delta v=2$ оказываются меньше сечений с $\Delta v=1$. В последнем случае абс. величины сечений варьируют в интервале $3—15\text{ A}^2$.

д. 1976 № 20

70118.6665

TC, Ch, Ph

96201

OH / *(смешанный)* X4-16312

1976

Gérard M., Govers T.R., Runst-
 raat C.A. van de, Marx R. Vibrational
 branching ratios for the $a^3\Pi_g \rightarrow X^3\Sigma^-$
 system of OH⁺ and OD⁺. "Chem. Phys.
 Lett.", 1976, 44, N 1, 154-158 (англ.)

0792 РНК

755 756 7 8 4

ВИНИТИ

OH

XIS - 13903

1976

OH⁺

10 Д722. УФ-излучение в реакции $O^+ - H_2$. Нагригис Н. Н., Leventhal J. J. Ultraviolet emission in $O^+ - H_2$ reactive scattering. «J. Chem. Phys.», 1976, 64, № 8, 3185—3191 (англ.)

Исследована люминесценция, обусловленная столкновением O^+ с H_2 при относит. энергиях 1,5—35 эв: Обнаружены переходы $A \rightarrow X$ молекул OH и OH^+ . Показано, что в области малых относит. энергий за образование возбужденных продуктов ответственны метастабильные состояния иона O^+ . Основное состояние иона O^+ возможно вносит вклад в образование OH^+ ($A^2\Pi$) в области энергий, достаточных для преодоления потенц. барьера, который, вероятно, существует в дополнение к обычной термохимич. энергии процесса. Основное состояние иона O^+ не вносит заметного вклада в образование OH ($A^2\Sigma^+$). Сделанные выводы согласуются с природой потенц. поверхностей иона H_2O^+ . Библ. 32.

переход

$A \rightarrow X$

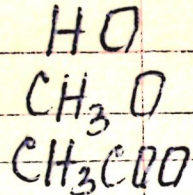
(+)

IV

φ 1976

No

1976



И. К. спектр
радикалов.

(42)

☒

Ф1976 № 9

9 Д326. Спектры ИК-поглощения органических пероксильных радикалов в ближней ИК-области. Hunziker H. E., Wendt H. R. Electronic absorption spectra of organic peroxy radicals in the near infrared. «J. Chem. Phys.», 1976, 64, № 8, 3488—3490 (англ.)

Получены ИК-спектры (1—2 мк) пероксильных радикалов типа XO (I) ($\text{X}=\text{H}, \text{CH}_3, \text{CH}_3\text{CH}_2, \text{CH}_3\text{CHCH}_3, \text{CH}_3\text{CO}$) и их $^{18}\text{O}_2$ -изотоп замещенных. Зарегистрированы прогрессии ИК-полос I, приписанные вал. кол. ν_1 связи О—О. Показано, что замещение Н в HO_2 алкильной группой сдвигает $\nu_s'=0$ полосу в коротковолн. сторону, тогда как при введении ацетильной группы отмечено значительное смещение $\nu_s'=0$ полосы в длинноволн. сторону. В ИК-спектрах $\text{C}_2\text{H}_5\text{O}_2$ и CH_3COO_2 обнаружены полосы, образующие прогрессию с интервалом 530 см^{-1} , сопоставленные деформационным колебаниям этих молекул. Предположено, что ИК-полосы, наблюдаемые с коротковолн. стороны полос ν_1 в спектрах $\text{CH}_3\text{O}_2(\text{CD}_3\text{O}_2)$ и отстоящие от ν_1 на 105, 120 и 148 см^{-1} (75 и 90 см^{-1}), являются горячими полосами крутильных колебаний вокруг связи С—О. Библ. 10.

И. В. А.

60306.3719
Ch, Ph, TC, NGU

42 (neurit 1976
OH greyfleck) 83-14128

Killinger D.K., Wang Charles C.,
Hanabusa N.

Intensity and pressure dependence of re-
sonance fluorescence of OH induced by a
tunable uv laser.

"Phys. Rev. A: Gen. Phys.", 1976, 13, N 6,
2145-2152. (SRER.)

446 655 670

102.8 РЕДИНИТИ

ОН

1976

заметки
к статье

21 Б135. Замечание к статье Р. Хогана и Д. Д. Дэвиса «Тушение электронного возбуждения и колебательная релаксация состояния ($A^2\Sigma^+$, $v=1$) радикала OH». — Ответ авторов. Lengel Russell K., Crossley David R. Comment on «Electronic quenching and vibrational relaxation of the OH ($A^2\Sigma^+$, $v=1$) state» by P. Hogan and D. D. Davis. — Authors' reply. «J. Chem. Phys.», 1976, 64, № 9, 3900—3901 (англ.)
К РЖХим, 1975, 21Б151.

Х 1976 № 21

OH

ХИ-11875

1976

14 Б27. Расчет моментов колебательно-вращательных переходов: матричный метод. Lin Che-Shung. Calculation of the vibration-rotational transition moments: matrix method. «Theor. chim. acta», 1976, 41, № 1, 71—77 (англ.)

Неэмпирический метод расчета колебательных волновых функций и моментов колебательно-вращательных переходов применен к изучению $A^2\Sigma^+$ -состояния радикала OH. Метод использует разложение колебательной функции в ряд по функциям гармонич. осциллятора, а матричные элементы оператора потенциальной энергии рассчитываются с помощью предложенной ранее схемы Харриса и др. (J. Chem. Phys., 1965, 43, 1515), к-рая позволяет задавать потенциальную функцию в любой удобной форме. В расчете использовано 60 базисных функций и аппроксимация неэмпир. потен-

Кв. неех.
расчет.

Х 1976 N14

циальной кривой полиномом третьей степени. Показано, что рассчитанные величины моментов переходов вполне удовлетворительно согласуются с результатами, полученными методом численного интегрирования, и, кроме того, слабо зависят от нелинейных параметров в пробных волновых функциях, что позволяет отказаться от оптимизации нелинейных параметров и значительно упростить вычислительную процедуру.

Б. И. Жилинский

* 45-11875

1976

ОН

8 Д213. Вычисление вероятностей колебательно-вращательных переходов. Матричный метод. Lin Che-Shung. Calculation of the vibration-rotational transition moments: matrix method. «Theor. chim. acta», 1976, 41, № 1, 71—77 (англ.)

При обычном способе расчета вероятностей колебательно-вращательных переходов (ВП) радиальное ур-ние для ядерного движения решается методом численного интегрирования (ЧИ) и по полученным волн. ф-циям вычисляется ВП. Недостаток метода — в чрезвычайной громоздкости получаемой колебательно-вращательной волн. ф-ции. При матричном методе решения волн. ур-ния используется вариац. принцип и разложение волн. ф-ции по базисному набору ортонормированных аналитических волн. ф-ций. Матричный метод применен к вычислению волн. ф-ций, колебательно-

А²
Δε

fmn

II (7) fmⁿ

Ф. 1976. № 8

вращательных уровней и ВП для основного состояния $A^2\Sigma$ -радикала OH. Вычисленный колебательный квант сравнивался с результатами ЧИ и эксперим. данными. В первом случае расхождение не превышает 0,4%, во втором случае — увеличивается с ростом числа колебательных уровней, достигая 1,3%. Расхождение с эксперим. данными объясняется погрешностью использованной в расчете теоретической потенциальной кривой, которая содержит 9 колебательных уровней вместо 10, обнаруженных в эксперименте. Лучшее согласие, $\sim 0,06\%$, теоретич. результатов и эксперим. данных получено для кванта вращательных уровней. Для всех 9 колебательных уровней вычислены усредненные колебательные дипольные моменты и ВП. Установлена слабая зависимость обеих характеристик от нелинейного параметра базисных волн. ф-ций ($\sim 0,3\%$ для дипольного момента и $\sim 1\%$ для ВП) при изменении числа уровней от 0 до 8.

А. М. Полянский

OH

XU-16321

1976

9 Б204. Спектр испускания OH в кислородно-ацетиленовом пламени в области 3,7—0,9 мкм, измеренный с высоким разрешением. Maillard J. P., Chauvile J., Mantz A. W. High-resolution emission spectrum of OH in an oxyacetylene flame from 3,7 to 0,9 μm. «J. Mol. Spectrosc.», 1976, 63, № 1, 120—141 (англ.)

Исследован колебательно-вращательный спектр испускания молекулы OH в кислородно-ацетиленовом пламени с использованием фурье-спектрометра с высоким разрешением в области 2700—11 000 см⁻¹. Приведены волновые числа более чем 1100 измеренных линий, для идентификации и отнесения к-рых применялся модифицированный метод Лумиса — Вуда. Отмечается, что наложение полос воды в ряде случаев затрудняло проведение анализа. Оценена точность измерения вращательных линий в различных спектральных областях. Проанализирована вращательная структура полос 1—0, 2—1, 2—0, 3—1, 4—2, 5—3, 3—0, 4—1, 5—2, причем для секвенций $\Delta V=3$ положение вращательных линий изме-

414

Х. 1977 № 9

XU-5423

рено впервые. По методу наименьших квадратов рассчитаны положения нулевых линий для 9 наблюдаемых полос, а также молек. постоянные для основного состояния ($^2\Pi$), включая постоянные спин-орбитального взаимодействия и параметры А-удвоения. На основании полученных результатов предсказано положение ряда полос, не наблюдавшихся в спектре. Отмечается, что более высокая точность измерения вращательных линий и развитая вращательная структура ($I > 20$ для некоторых P -ветвей) позволяют определить молек. постоянные более точно.

С. Б. Осин

CH₃
до

ОН

ХИ-16321

1976

4 Д461. Эмиссионный спектр с высоким разрешением ОН в кислородно-ацетиленовом пламени в области 3,7—0,9 мк. Maillard J. P., Chauville J., Mantz A. W. High-resolution emission spectrum of OH in an oxyacetylene flame from 3.7 to 0.9 μm. «J. Mol. Spectrosc.», 1976, 63, № 1, 120—141 (англ.)

С помощью фурье-спектрометра с высоким разрешением в области 2700—11 000 см⁻¹ исследован колебательно-вращательный спектр OH, испускаемый ацетилено-кислородным пламенем. В спектре наблюдались также линии, связанные с поглощением и испусканием паров воды, смешанной с OH в источнике. Приведено положение линий с высокой величиной J (более 20 для некоторых P -ветвей) полос 1—0 и 2—1 для последовательности $\Delta v=1$; 2—0, 3—1, 4—2 и 5—3 для $\Delta v=2$ и 3—0, 4—1 и 5—2 с $\Delta v=3$. Подчеркивается, что полосы последовательности $\Delta v=3$ приводятся впервые. Приведены константы для основного состояния OH. С помощью этих констант вычислены положения не наблюдавшихся полос OH (для задач звездных и атмосферных исследований).

Колбат.
— брашат.
спектр

Ф. 1977
N 4

XI-5423

OH

4-1632

1976

85: 151345x High-resolution emission spectrum of hydroxyl in an oxyacetylene flame from 3.7 to 0.9 μm . Maillard, J. P.; Chauville, J.; Mantz, A. W. (Lab. Telesc. Infrarouge, Obs. Meudon, Meudon, Fr.). *J. Mol. Spectrosc.*, 1976, 63(1), 120-41 (Eng). The vibration-rotation OH spectrum emitted by an $\text{C}_2\text{H}_2-\text{O}_2$ flame was measured between 2700 and 11000 cm^{-1} with a high-resolution Fourier Spectrometer. The main interferences in the spectra are due to H_2O vapor absorption and emission which are mixed with O in the source. Nevertheless, line positions to high J values (more than 20 for some P branches) of the 1-0 and 2-1 bands of the $\Delta\nu = 1$ sequence, 2-0, 3-1, 4-2, and 5-3 of $\Delta\nu = 2$ and 3-0, 4-1, and 5-2 of the $\Delta\nu = 3$ sequence are reported. Bands of the $\Delta\nu = 3$ sequence are reported for the 1st time. Ground-state mol. consts. of OH were derived from a least-squares fit of the data, weighted according to their estd. uncertainties. Uncertainties in the new set of mol. consts. are considerably improved relative to the previously available consts. Predicted positions of some unobsd. bands of OH were calcd.

from these new consts. for the purpose of aiding stellar and atm. studies.

C.A. 1976

85 N20 ④ Tracerless $\text{C}_2\text{H}_2-\text{O}_2$

ОН - концентрация
ионов гидроксила

19.76

22 Б1212. Концентрация гидроксильных радикалов и атомарного кислорода при горении с высоконитенсивной турбулентностью. Malte P. C., Schmidt S. C., Pratt D. T. Hydroxyl radical and atomic oxygen concentrations in high-intensity turbulent combustion. «16 th Symp. (Int.) Combust., Cambridge, Mass. 1976». Pittsburgh, Pa, 1976, 145—153. Discuss. 153—155 (англ.)

Спектроскопически измерены конц-ии радикалов OH и атомов O, а также т-ры в гомог. реакторе, в к-ром

сжигался CH₄ в воздухе при давл. 0,92 атм. Коэф. избытка топлива изменялся от 0,57 до 1,33, а отношение массовой скорости потока к объему реактора от $1,89 \cdot 10^{-2}$ до $4,03 \cdot 10^{-2}$ г/см³·сек. Установлено, что вращательная т-ра OH приблизительно на 7% выше, чем измеренная термопарой. Конц-ия OH увеличивается с увеличением отношения расхода газа к объему реактора, она максимальна при значении отношения расходов топлива и воздуха ~0,85. В этой же области находится максимум конц-ии атомов O.

Из резюме

2.1976/122

61206.4322

Ch, TC

40892

OH

(
10-14...0)

1976

* 4-15618

Marechal Y. Comment on "Structure
of the OH stretching vibrational band
of formic acid" by Hans Wolff, Bernd
Nikolaus, and Erika Wolff. - Authors'
reply. "J.Chem.Phys.", 1976, 65, N 8,
3393-3396 (англ.)

0260 пмк

739 746

ВИНИТИ

O-M

1976

Масніровськ В.С. узр

Ж. споруд. худд. 1976,
Із, №1, 172-4.

(авт. роз).
5

(алг. Be-M) III

OK

1976

UIC Cullot K.E.

Tut. of class. Spectrum
Jou. phys. 1976, 21 (3-4),
333-42.



(Ces. NH₂⁺; III)

OH ($A^2\Sigma^+$)

1976

19 Б86. Вращательное возбуждение и распределение заселенностей радикалов OH($A^2\Sigma^+$), образующихся при электронном ударе из молекул воды. Möhlmann G. R., Beenakker C. I. M. The rotational excitation and population distribution of OH($A^2\Sigma^+$) produced by electron impact on water. «Chem. Phys.», 1976, 13, № 4, 375—385 (англ.)

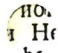
спектр
испуска

Измерен спектр испускания (СИ) радикала OH (полоса 3064 Å, соотв.-щая переходу $A^2\Sigma^+, v'=0, N' \rightarrow X^2\Pi, v''=0, N''$), образующегося из молекул H₂O при ударе моноэнергетич. электронами с энергией $E=0—1000$ эв. Из СИ определены распределения по заселенностям вращательных уровней $f(N')$, а также распределения по вращательным возбуждениям $j(N', N'')$. Установлено, что в области $E=0—100$ эв наблюдается различная зависимость $f(N')$, и $j(N', N'')$ от E при больших N' и малых N'' , что позволило отделить вклады триплетных и синглетных возбуждений H₂O в образовании

P.X.X., 1976, 19

$\text{OH}(A^2\Sigma^+)$. Показано, что $f(N')$ и $J(N', N'')$, могут быть представлены в виде суперпозиции трех больцмановских распределений, два из которых описывают вклад синглетных, а третье — триплетных состояний H_2O с параметрами соотв. $T_1=13\,800$, $T_2=2900$ и $T_3=400^\circ\text{K}$ для $f(N')$ и $T_1=30\,000$, $T_2=3300$ и $T_3=4800$ для $J(N', N'')$. Предложены два механизма, объясняющие возникновение «аномального» (T_1) и «нормального» (T_2) вращательного возбуждений $\text{OH}(A^2\Sigma^+)$, образующегося из синглетных состояний H_2O , один из которых предполагает образование атома Н в основном состоянии, а др. в возбужденном.

Е. Николаев



61229.7324
Ch,TC, MGU

41197

1976

04

* 45-15938

Nielsen S.O., Michael B.D.,
Hart E.J.
Ultraviolet absorption spectra of
aq-H₂O, D₂O, and OD from pulse radiolysis
of aqueous solutions.

"J.Phys.Chem.", 1976, 80, N 22, 2482-2488

(англ.)

07.80 пик.

735 739

ВИНИТИ

OH

#4 - 16322

1978

faceet

reacterface

reacterface

Do

Do

Popple J.A. et al.
Int. J. Dentistry.
Chem. Sympo.s."
1976, v10, 1-19.

OH

ommuse 4743

1976

Pohle John A.

"Bull. Soc. chim belg"

1976, 85, n6, 347-361 (auv)

смрк
напау.

OH

1976

Radom L.

Aust. J. Cheee. 1976, 29(8),
1635-40.

(paeret
enlykt.)



(all NH₂) III

OH

1576

8 Д192. Показатель влияния колебательно-вращательного взаимодействия на интенсивности в электронных спектрах двухатомных молекул. Siddarame Gowda L., Sreedhara Murthy N. An index of the influence of vibration-rotation interaction on intensities in electronic spectra of diatomic molecules. «Indian J. Pure and Appl. Phys.», 1976, 14, № 3, 238—239 (англ.)

Эффективный потенциал двухатомной молекулы имеет минимум при межатомном расстоянии

$$r_0 = r_e [1 + 4B_e^2 J(J+1)/\omega_e^2].$$

По этой ф-ле, при различных значениях J рассчитаны значения r_0 в основных и возбужденных электронных состояниях молекул OH, N_2^+ , CN, MgH, AlH, CP, CH, C_2 и CrO. Вычислены также изменения Δr_0 , Δr_e при электронном возбуждении, разности ($\Delta r_0 - \Delta r_e$), рассматриваемые как показатели влияния колебательно-вращательного взаимодействия на интенсивности, и факторы Франка—Кондона. Примерами высоких значений показателя влияния служат полосы A—X, A—X и B—A в спектрах AlH, MgH и CP.

М. А. Ковнер

расчет

r_0 .

*Колебат.-
вращ.
взаимод.*

Ф. 1977. № 8

1576
1976-58

ОН.

1976

№ 3 Д732. Определение с помощью индуцированной лазером флуоресценции распределения по внутренним состояниям радикалов ОН, образующихся в пересекающихся пучках $H + NO_2$. Silver Joel A.; Dimpfl William L., Brophy John H., Kinsey James L. Laser-induced fluorescence determination of internal-state distribution of OH produced by $H + NO_2$ in crossed molecular beams. «J. Chem. Phys.», 1976, 65, № 5, 1811—1822 (англ.).

заселен.
вращ.
уровней

Относительные заселенности вращательных уровней колебательных состояний $v=0$ и $v=1$ радикалов OH, образующихся в реакции $H + NO_2 \rightarrow OH + NO$, измерены методом лазерно-индуцированной флуоресценции. Обнаружена высокая степень вращательного возбуждения. Установлено, что заселенность состояния $v=1$ в $1,3 \pm 0,3$ раза больше по сравнению с заселенностью состояния $v=0$. Результаты проанализированы в рамках теоретико-информационного подхода. Библ. 54.

ф. 1977 № 3

1976

ОИ

10 Д343. Наблюдение инверсной заселенности между
Λ-дублетными состояниями OH. Тег Meulen J. J.,
Meerts W. L., van Mierlo G. W. M., Duma-
nus A. Observations of population inversion between
the Λ-doublet states of OH. «Phys. Rev. Lett.», 1976, 36,
№ 17, 1031—1034 (англ.)

Наблюдано распределение инверсной заселенности
энергетич. уровней между Λ-дублетными состояниями
для OH-радикалов, полученных в реакции $H + NO_2 \rightarrow$
 $\rightarrow OH + NO$. Порядок наблюдаемой инверсии 4—6% для
состояний $^2\Pi_{3/2}, J=3/2, 5/2, 7/2$ и $^2\Pi_{1/2}, J=1/2$, а также
менее 1% для состояний $^2\Pi_{1/2}, J=3/2, 5/2, 7/2$ и $9/2$.

инверс.
заселен

φ. 1976. № 10

OH

1976

S4: 187099p Observations of population inversion between the Λ -doublet states of hydroxyl. Ter Meulen, J. J.; Meerts, W. L.; Van Mierlo, G. W. M.; Dymanus, A. (Fys. Lab., Katholieke Univ., Nijmegen, Neth.). *Phys. Rev. Lett.*, 1976, 36(17), 1031-4 (Eng). Inverted population distribution between Λ -doublet states of OH produced in the reaction $H + NO_2 \rightarrow OH + NO$ was obsd. in a beam maser and in a mol.-beam - elec.-resonance spectrometer. The obsd. inversions are of the order of 4-6% for the $^2\Pi_{3/2}$, $J = 3/2, 5/2, 7/2$, and the $^2\Pi_{1/2}$, $J = 1/2$ states, and less than 1% for the $^2\Pi_{1/2}$, $J = 3/2, 5/2, 7/2$, and $9/2$ states.

C.A. 1976, 84 N 26

60810.1909

Ph, TC, A

OH / бригада:
63439 звезды

1976

4559

к р. N 60810.1875

Townes C₂H₂. Interstellar molecules.

"Ném. Soc. roy. sci. Liège", 1976, 9,

453-474. Discuss., 475

(англ.)

0680 ник

640 662 612

ВИНИТИ

8(OH) Travert J., Larvalley T.C. ¹⁹⁷⁶

Kaces,
cnekrup.

Spectrochim. acta,
1976, A32, N3, 637-649.

● (Cee $\text{CCl}_3\text{CH}_2\text{OH}$)
III

ОН

КЧ - 17247

1976

SH

17 Д230. Теория эффекта Зеемана высокой точности для двухатомных молекул. Veseth L. Theory of high-precision Zeeman effect in diatomic molecules. «J. Mol. Spectrosc.», 1976, 63, № 2, 180—192 (англ.)

Предлагается уточненная теория эффекта Зеемана для двухатомных молекул, основанная на численной диагонализации спин-гамильтониана молекулы. Детальные ф-лы для матричных элементов даны в случае молекулы с одним магн. ядром. Численные расчеты с учетом эффектов тонкой и сверхтонкой структуры и внешнего магн. поля выполнены для $^2\Pi$ -состояний молекул OH и SH. Из анализа эксперим. данных об эффекте Зеемана для этих молекул найдены значения $(g_l + g_s/2)$, равные соответственно 2,00092 (3) и 2,000889 (4), в то время как рассчитанные автором теоретич. значения равны 2,00087. (для OH) и 2,000951 (для SH). Т. К. Ребане

(+1)

☒

Ф. 1977. № 7

ОН

1976

5 Д964. Исследование люминесценции радикала
ОН ($A^2\Sigma^+$) при фотолизе паров воды вакуумным УФ-из-
лучением. Виноградов И. П., Вилесов Ф. И. «Оп-
тика и спектроскопия», 1976, 40, № 1, 58—62

В спектральной области 1370—850 Å определены абс-
значения квантового выхода люминесценции возбуж-
денного гидроксильного радикала, образующегося при
фотолизе паров воды. Установлено, что константа ско-
рости тушения люминесценции радикала ОН не зави-
сит от энергии возбуждающего фотона и равна $(7 \pm 1) \cdot 10^{-10}$ см³·сек⁻¹·молекул⁻¹. Получены спектры лю-
минесценции гидроксильного радикала. Установлено
увеличение вращательного возбуждения ОН радикала
при уменьшении длины волны возбуждающего излуче-
ния.

Автореферат

Ф. 1976 N 5

ОН

1976

11 Б1444. Исследование люминесценции радикала
ОН($A^2\Sigma^+$) при фотолизе паров воды вакуумным УФ-из-
лучением. Виноградов И. П., Вилесов Ф. И.
«Оптика и спектроскопия», 1976, 40, № 1, 58—62

Спектры
люминес-
ценции
В спектральной области 1370—850 А определены абрс.
значения квантового выхода люминесценции возбужден-
ного гидроксильного радикала, образующегося при фо-
толизе паров воды. Установлено, что константа скорос-
ти тушения люминесценции радикала ОН не зависит от
энергии возбуждающего фотона и равна $(7 \pm 1) \cdot 10^{-10}$ см³/сек. Получены спектры люминесценции гид-
роксильного радикала. Установлено увеличение врача-
тельного возбуждения ОН-радикала при уменьшении
длины волны возбуждающего излучения.

Резюме

Х 1976 № 11

1976

OII

(A²Σ⁺)

Янусий Убас
Trans.: Assoc. Mech.

Technol., 1976, 28, N1, 16-24

доказательство



1 cu H₂O | III

ОН

Омск 564.

1977

М. б.
исследований.

ТД532. Экспериментальное исследование насыщения микроволнового поглощения радикала OH. Bastard Daniel, Bretenoux Alain, Chaggu André, Picherit François. Etude expérimentale de la saturation de l'absorption hertzienne du radical OH. «С. г. Acad. sci.», 1977, 284, № 20, B445—B447 (франц.; рез. англ.)

Измерена ширина линии перехода $F=4 \rightarrow 4$ (${}^2P_{3/2}$, $J=7/2$) вблизи 13 441, 417 МГц радикала OH при давл. от 10^{-4} — 10^{-1} мм рт. ст. При давл. 10^{-4} — 10^{-3} мм рт. ст. ширина этой линии составляет 25 кГц и не зависит от давления, а при давл. 10^{-2} — 10^{-1} мм рт. ст. ширина линии линейно возрастает от 100 до 220 кГц. По насыщению поглощения оценено поперечное сечение столкновений OH-радикала ($\sigma \approx 0,7 \cdot 10^{-14} \text{ см}^2$). М. Р. Алиев

1977 IV 10

1977
OH

90: 61617m Calculation of vibrational energies and Franck-Condon factors for the $A^2\Sigma^+$ - $X^2\Pi$ system of a hydroxyl molecule. Blinkova, V. G.; Popova, T. N. (USSR). Deposited Doc. 1977, VINITI 1232-77, 6 pp. (Russ). Avail. VINITI. The vibrational energies ($v \leq 13$) for 2 electronic states, $X^2\Pi$ and $A^2\Sigma^+$, of OH were calcd. by numerical integration of the radial Schrödinger equation by using 3-parameter semiempirical potentials. The Franck-Condon factors for the $A^2\Sigma^+$ - $X^2\Pi$ system ($v' \leq 6$ and $v'' \leq 12$) were also calcd. by the numerical integration method by using Simpson's rule and wave functions obtained by a 3-parameter potential method (B. and P., 1976).

*Ziegsche
Kot. Ural
 $X^2\Pi$ u $A^2\Sigma^+$*

CA 1979 00 08

ОН

1977

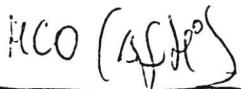
1) 7 Д199 ДЕП. Расчет колебательных энергий и факторов Франка—Кондона для системы $A^2\Sigma^+ - X^2\pi$ молекулы ОН. Блинкова В. Г., Попова Т. Н. (Редколлегия ж. «Изв. высш. учеб. заведений. Физика»). Томск, 1977. 5 с., библиогр. З назв. (Рукопись деп. в ВИНИТИ 31 марта 1977 г., № 1232—77 Деп.)

Выполнен расчет колебательных энергий и факторов Франка—Кондона для перехода $A^2\Sigma^+ - X^2\pi$ молекулы ОН. Расчет проводился численными методами по составленным авторами программам. В качестве потенциф-ций использовались выбранные разработанным ранее методом (РЖФиз, 1975, 5Д216) трехпараметрические полуэмпирич. потенциалы.

Автореферат

92. 1977. № 7

OH



1977

У 12 Д757. Колебательно-вращательное возбуждение
радикалов OH($X^2\Pi$), образующихся в реакции O+HCO→
→OH(v)+CO. Becker K. H., Lippmann H., Schu-
gath U. Schwingungs-Rotations-Anregung von
OH($X^2\Pi$)-Radikalen durch die Reaktion O+HCO→
→OH(v)+CO. «Ber. Bunsenges. phys. Chem.», 1977, 81,
№ 6, 567—572 (нем.; рез. англ.)

В спектре испускания радикалов OH, образующихся
в реакциях атомов O(3P) с простыми органич. молеку-
лами, в области 5000—9000 Å обнаружены полосы
Мейнеля $\Delta v=7, 6, 5$ и 4. Образование колебательно-
возбужденных радикалов OH объяснено реакцией
O+HCO→OH(v)+CO. Показано, что в отличие от
реакции H+O₃→OH+O₂, в которой образуются ра-

Колебат-
-вращат.
возбужде

9. 1977, N12

дикалы OH^+ с колебательным возбуждением до $v=9$, реакции с $O(^3P)$ приводят к заметному заселению уровня $v=10$. В распределении заселенности вращательных уровней состояния $v=10$ наблюдаются два максимума, один из которых интерпретирован как результатrudиментарного проявления первичного распределения. На основании полученных данных определена теплота образования радикалов HCO , $\Delta H_f^0(298^\circ\text{K}) = (44,8 \pm 4)$ кдж/моль, что дает для энергии диссоциации HCO значение $D(\text{H}-\text{CO}) = (57,8 \pm 4)$ кдж/моль. Библ. 27.

ОН

ВР-ХI-5746

1977

11 Б132. Применение модели «одного взаимодействия» для интерпретации колебательных спектров OH в основном состоянии. Анализ сверхтонкой структуры λ -удвоения, чисто вращательного спектра и полосы $A^2\Sigma-X^2\Pi(0,0)$. Destombes J. L., Marglere C., Rohart F. A unique model for the interpretation of OH vibrational ground-state spectra. λ -Doubling hyperfine structure, pure rotational spectrum, and $A^2\Sigma-X^2\Pi(0,0)$ electronic band analysis. «J. Mol. Spectrosc.», 1977, 67, № 1—3, 93—116 (англ.)

Рассматривается частный случай квантово-мех. расчета, когда изучаемое электронное состояние сильно взаимодействует только с одним состоянием, а все остальные возмущения значительно слабее. В этом случае гильбертово пространство включает подпространства двух взаимодействующих уровней, а др. возмущения учитываются с помощью преобразования Ван-Флека.

X. 1978 N 11

Тогда значения энергий уровней находятся непосредственной диагонализацией общего гамильтониана в соответствующих подпространствах. Предложенный метод испытывается на примере радикала OH, у к-рого основное состояние $X^2\Pi$ значительно возмущено взаимодействием с $A^2\Sigma^+$, а др. электронные состояния слабо влияют на основное. Проведено несколько расчетов с включением различного числа эксперим. значений энергий уровней и определены соответствующие ряды молек. постоянных, с помощью к-рых рассчитывались положения линий в полосе (0, 0) перехода $X^2\Pi - A^2\Sigma$, в чисто вращательном спектре, а также параметры сверхтонкой магнитной структуры λ -удвоения. Точность расчета оказалась достаточно высокой.

Л. В. Серебренников



OH

1977
5 Д343. Общая модель для интерпретации спектров OH в основном колебательном состоянии. А-удвоение, вращательный спектр и анализ электронной полосы $A^2\Sigma - X^2\Pi$ (0, 0). Destombes J. L., Magliere C., Rohart F. A unique model for the interpretation of OH vibrational ground-state spectra. A-doubling hyperfine structure, pure rotational spectrum, and $A^2\Sigma - X^2\Pi$ (0, 0) electronic band analysis. «J. Mol. Spectrosc.», 1977, 67, № 1—3, 93—116 (англ.)

Выполнен одновременный анализ УФ-, вращательных спектров и микроволни. спектров, связанных с переходами между уровнями сверхтонкой структуры А-удвоения, с помощью одного и того же гамильтониана. Диагонализация гамильтониана выполнена в базисе для случая Гупда a_{β} . Возмущения участвующих в УФ-переходах уровней возбужденными колебательными и другими электронными уровнями учтены методом преобразования Ван-Флека. Молекулярные параметры определены нелинейным методом наименьших квадратов по частотам всех наблюденных линий. Приведены частоты рассчитанных по этим параметрам и измеренных в опыте линий УФ-, ИК- и микроволни. спектра. Библ. 49.

М. Тонков

$B^2\Pi - X^1\Sigma^+$

Р, 1978, N5

OH

1977

10 Д416. К вопросу об аномалиях в линиях-сателлитах в возбужденных состояниях OH. Elitzur Moché. On satellite lines anomalies in OH excited states. «Mon. Notic. Roy. Astron. Soc.», 1977, 179, № 1, 143—145 (англ.)

Показано, что различные механизмы накачки могут привести к одинаковому распределению заселенности в первых двух возбужденных состояниях радикала OH. По этой причине анализ излучения не может дать однозначного ответа на вопрос о механизме возбуждения. В частности указано, что радиоизлучение, недавно наблюдавшееся Вайтоуком и Гардиером в системе G 219,3—0,7, может быть объяснено как радиационной, так и столкновительной накачкой.

ф. 1977 № 10

ОН

В9-Х1-5783

1977

12 Б1287. Предиссоциация и туннельный эффект в состоянии $A^2\Sigma^+$ радикала OH. Гертман К. Р. Dissociation and tunneling in the $A^2\Sigma^+$ state of OH. «J. Chem. Phys.», 1977, 67, № 11, 5411—5412 (англ.)

Анализируются причины расхождений результатов двух работ по определению констант E_0 и r_r отталкиватального состояния ${}^4\Sigma^-$ радикала OH на основании данных по началу предиссоциации с уровнем $V'=0,1$ $A^2\Sigma^-$ -состояния OH, на к-рое состояние ${}^4\Sigma^-$ оказывает возмущающее действие (Gertman K. R., «J. Chem. Phys.», 1975, 63, 5252), и на основании данных по исчезновению врашат. структуры в спектре испускания OH с уровня $V'=2$ (Palmer H. B., Naegeli D. W., «J. Molec. Spectr.», 1968, 28, 417). Здесь E_0 — энергия состояния ${}^4\Sigma^-$ в отсутствие вращения, r_r — межъядерное расстояние, вычисленное на основании вращательной константы B . Найдено, что данные по началу предис-

х, 1978, № 12

социации дают $E_0 = 37\ 650\ \text{см}^{-1}$, $r_r = 1,65 \pm 0,06\ \text{\AA}$, а данные по исчезновению вращательной структуры дают $E_0 = 38\ 450\ \text{см}^{-1}$, $r_r = 1,25\ \text{\AA}$. Это расхождение объясняено различиями соотв-щих физ. процессов, в частности большей чувствительностью измерений излучательного времени жизни к эффектам туннелирования атома Н через потенциальный барьер между $^2\Sigma^+$ и $^4\Sigma^-$ -состояниями при предиссоциации.

В. Е. Скурат

ОН

БР - Х - 5783

1944

D 7 Д182. Предиссоциация и туннельный переход в
 $A^2\Sigma^+$ -состоянии OH. German K. R. Predissociation and
tunneling in the $A^2\Sigma^+$ state of OH. «J. Chem. Phys.»,
1977, 67, № 11, 5411—5412 (англ.)

Анализируются причины расхождения величин E_0 и r , определяющих энергию отталкивателяного $4\Sigma^-$ -состояния при отсутствии вращения и межъядерного расстояния в точке пересечения потенц. кривых возбужденных состояний $A^2\Sigma^+$ и $4\Sigma^-$ радикала OH, полученных в результате анализа, проведенного в работе Палмера и др. (Palmer H. B. et al. «J. Mol. Spectrosc.», 1969, 28, 417)

предиссо-
циация

90-1944 N 7

и в работе автора (German K. R., «J. Chem. Phys.», 1975, 63, 5252). Палмер и Нэгели рассматривали предиссоциацию как нарушение структуры вращательного излучения, происходящего при гораздо более высоких значениях уровней N , и нашли, что $E_0=38\,450 \text{ см}^{-1}$, $r=1,35 \text{ \AA}$. Результаты автора, основанные на анализе условий начала предиссоциации, происходящей при более низких N , приводят к $E_0=37\,650 \text{ см}^{-1}$, $r=1,65 \pm 0,06 \text{ \AA}$. Показано, что расхождение в r может быть обусловлено тем, что измерение излучательного времени чувствительно к эффекту туннельного перехода через потенц. барьер.

И. Флакс

OH

BP-X1-5783

1977

88: 67465r Predissociation and tunneling in the $A^2\Sigma^+$ state
of hydroxyl. German, K. R. (Burleigh Instrum., Inc., East
Rochester, N. Y.). *J. Chem. Phys.* 1977, 67(11), 5411-12
(Eng). A polemic concerning a paper by H. B. Palmer and D. W.
Naegeli (*J. Mol. Spectros.* 1968, 28, 417).

n/piquecos .

$A^2\Sigma$

P.A. 1978, 28, N10

OH

спектр
в лесах

1977

8 Д414. Водородная связь и перенос заряда: Взаимодействие OH радикала с атомами инертных газов. Goodman Julie, Brus L. E. Hydrogen bonding and charge transfer: interaction of OH radical with rare gas atoms. «J. Chem. Phys.», 1977, 67, № 11, 4858—4865 (англ.)

Исследованы спектры OH в матрицах инертных газов. Хотя, как известно, в матрице атомов Ne радикал OH практически свободно вращается, и не наблюдается колебательной релаксации, в кристаллах атомов более тяжелых инертных газов Ar, Kr и Xe обнаружено сильное влияние окружающих атомов на радикал (увеличение скорости релаксации в 10^3 раз в

Ф. 1978, N 8

состояния радикала $A^2\Sigma$). По типу спектра поглощения радикала $A^2\Sigma \leftrightarrow X^2\Pi$ установлено, что в обоих электронных конфигурациях комплекс, образуемый радикалом с ближайшим атомом матрицы, линейный. Для OH в состоянии $A^2\Sigma$ в матрице Ar определены параметры $D_0 \approx 675 \text{ см}^{-1}$, $\omega_c \approx 203 \text{ см}^{-1}$ и $\omega_{ex} \approx 13,1$, а в матрице Kr $D \geq 1000 \text{ см}^{-1}$. Обнаружен сдвиг полосы излучения OH($A^2\Sigma$) из основного колебательного состояния в основном при переходе от Ne к Xe с 3090 см^{-1} до 4400 см^{-1} . Обсуждается природа связи, образуемой радикалом OH с атомами инертных газов на основе полученных спектроскопич. данных и с использованием известных исследований изоэлектронных комплексов атомов галогенов с атомами инертных газов. Рассмотрена роль эффектов переноса заряда при образовании подобных комплексов.

А. И. Шушин

ОН

HCl⁺

HF⁺

(Li, n.)

№

(+2)

X. 1977

N17

ХС-18396

1977

17 Б23. Неэмпирический расчет спин-вращательной постоянной для двухатомных молекул в $^2\Pi$ состояниях. Проверка приближения Ван Флека. Green Sheldon, Zare Richard N. Ab initio calculation of the spin-rotation constant for $^2\Pi$ diatomics. Test of the Van Vleck approximation. «J. Mol. Spectrosc.», 1977, 64, № 2, 217—222 (англ.)

Проведен неэмпирический расчет спин-вращательной постоянной, γ^x , для основных $X^2\Pi$ -состояний OH, HCl⁺, HF⁺ и их дейтерированных аналогов. Для расчета использованы волновые функции, полученные в рамках ограниченного метода Хартри—Фока. Показано, что расширение базиса не приводит к заметному изменению матричных элементов спин-вращательного гамильтониана. Вычисл. значения γ^x в 50—100 раз меньше значений, предсказываемых на основе приближения Ван Флека. Для двухатомных гидридов предложена модификация приближения Ван Флека, учитывающая наличие тяжелого и легкого ядер. Значения γ^x , рассчитанные по предложенной ф-ле, находятся в хорошем согласии с результатами неэмпирических расчетов. Б. И. Жилинский

OH Kerkried Grienigl, 1974
Janoschek Rudolf.

"Tetrahedron"; 1977,
53, N4, 445 - 448.

(Ar^+)

• (ces. F^-) III

ОН
 $(OH)_2$
 $(OH)_3$

У, Аē, АН⁺

Ф. 1974

№ 11

Октябрь 5513

1977

11 Д172. Систематическое изучение потенциалов ионизации и сродства к электрону, протону, водороду и гидридам для молекул OH_n и их ионов. Kagi Roy E., Csizmadia Imre G. A systematic study of the ionization potentials and electron, proton, hydrogen, and hydride affinities of OH_n molecules and ions. «J. Amer. Chem. Soc.», 1977, 99, № 14, 4539—4545 (англ.)

Проведены неэмпирические расчеты методом ЛКАО МО ССП молекул OH_n ($n=1, 2, 3$) и их положительных и отрицательных ионов. Для расчета использован двухэкспонентный базис из сгруппированных гауссовых ф-ций с включением поляризационных ф-ций. Вычисления проведены при различных значениях длии связей О—Н и углов НОН. На основании полученных данных определены потенциалы ионизации и сродство к электрону, протону, водороду и гидридам. Показано, что присоединение протона к отрицательным ионам или нейтральным молекулам приводит к понижению энергии, присоединение атома водорода энергетически более выгодно для систем с большим числом атомов водорода.

Б. И. Жилинский

+2

OH

X - 5580

1977.

OD

14 Б116. Фотоэлектронные спектры радикалов OH и OD. Katsumata S., Lloyd D. R. The photoelectron spectra of the OH and OD radicals. «Chem. Phys. Lett.», 1977, 45, № 3, 519—522 (англ.)

Исследованы фотоэлектронные спектры радикалов гидроксила, возбуждаемые источником Не-I. Радикалы OH и OD образовывались при взаимодействии NO_2 с атомарным водородом или дейтерием (в H_2 или D_2 при МВ-разряде). Полоса при 13,01 эв, имеющая слабую колебательную компоненту, связана с образованием OH^+ (OD^+) в состоянии $\tilde{\chi}^3\Sigma^-$. Величина колебательного ин-

и.к

(+)

X



x 1977. N/4

тервала ($\text{OH}^+ - 2950 \pm 50$, $\text{OD}^+ - 2260 \pm 50 \text{ см}^{-1}$) со-
гласуется со значением полученным из спектров испус-
кания (2956 и 2185 см^{-1}). Полоса $15,20$ эв отнесена к
 $\text{OH}^+(\text{OD}^+)$ в состоянии ${}^1\Delta$, существование к-рого пред-
полагалось ранее на основании анализа возмущений в
системе $A^3\Pi - X^3\Sigma^-$ в спектре испускания OD^+ . Колеба-
тельная структура состояния ${}^1\Delta$, а также полосы, свя-
занные состояниями с $A^3\Pi$ и ${}^1\Sigma^+$, не наблюдались из-за
наложения полос окиси азота и водорода (дейтерия).

В. М. Ковба

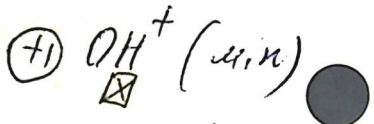
OH

RP-5520

1977

(γ)

86: 130674j. The photoelectron spectra of the hydroxyl and hydroxyl-d radicals. Katsumata, S.; Lloyd, D. R. (Chem. Dep., Univ. Birmingham, Birmingham, Engl.). *Chem. Phys. Lett.* 1977, 45(3), 519-22 (Eng). He I photoelectron spectra of the OH radical show ionizations corresponding to the prodn. of OH⁺ (OD⁺) in the states X^{3Σ-} and ¹Δ at ionization potentials of 13.01 eV and 15.20 eV, resp. The excitation energy of the ¹Δ state is in very good agreement with that predicted by calcns. and expt.; vibrational spacings in the X^{3Σ-} state agree with emission spectroscopic data.



C.A. 1977 86 n 18

ОН

II-8580

1977

OD

7 Д430. Фотоэлектронные спектры радикалов OH и OD. Katsumata S., Lloyd D. R. The photoelectron spectra of the OH and OD radicals. «Chem. Phys. Lett.», 1977, 45, № 3, 519—522 (англ.)

Получены HeI фотоэлектронные спектры радикалов OH и OD. Радикалы образовывались при реакции NO_2 с атомами H, генерируемыми в СВЧ-разряде в H_2 . Вертикальные потенциалы ионизации OH и OD равны (в эВ); 13,01; 15,20. Потенциалы ионизации соответствуют образованию OH^+ и OD^+ в состояниях $X^3\Sigma^-$ и ${}^1\Delta$. В первой фотоэлектронной полосе OH и OD идентифицирована колебательная структура с $\nu(\text{OH}) = 2950 \text{ см}^{-1}$ и $\nu(\text{OD}) = 2260 \text{ см}^{-1}$. Библ. 18.

Ю. В. Чижов

Фотоэл.
спектр
(1)

Ф. 1977. № 7

41 и.с. 8

ОН

1077

6 Д505. Измерение поглощения OH с помощью не-
прерывного перестраиваемого лазера. Killinger D.K.,
Wang Charles C. Absorption measurements of OH
using a cw tunable laser. «Chem. Phys. Lett.», 1977, 52,
№ 2, 374—376 (англ.)

спектр
поглощ.

Проведены измерения спектров поглощения OH
(переход $^2\Pi \rightarrow ^2\Sigma^+$, $v=0 \rightarrow 0$, $\lambda \approx 3080 \text{ \AA}$) с помощью не-
прерывного перестраиваемого лазера на красителе с
удвоением частоты, обеспечившего ширину линии гене-
рации $\approx 0,072 \text{ см}^{-1}$ при выходной мощности $\approx 3 \text{ мквт}$.
Необходимая конц-ия OH достигалась методом воз-
буждения высоковольтного электрич. разряда в много-
проходной кювете длиной 25 см с парами H_2O при
давлении $< 20 \text{ мм рт. ст}$. Из анализа полученных спек-
тров определены зависимости вращательной и трансля-
ционной т-р OH от мощности электрич. разряда. Ми-
ним. конц-ия OH, регистрируемая на экспедим. устано-
вках

Ф. 1978 № 6

кс, оценена $\approx 10^9$ см $^{-3}$ при величине отношения сигнал/шум ≈ 1 . Предполагается, что использование кюветы длиной 2 м с числом проходов ≈ 100 в сочетании с методом модуляции излучения позволит поднять чувствительность установки до $\approx 10^5$ см $^{-3}$. Кратко обсуждены преимущества метода лазерной спектроскопии поглощения перед методом индуцированной лазером флуоресценции для измерения конц-ии OH в атмосфере, продуктах сгорания в-в и пр. Библ. 7.

С. Л.



OH

1947

Klimo Viliam et al.

(u.n.)

"Chem. Phys. Zett." 1947, 46,
"N3, 481-484 (am.)

coll. BeH - III

1974

OH

4 Б1143. Перенос энергии в состоянии $A^2\Sigma^+$ радикала OH I. Перенос вращательной энергии. Lengel Russell K., Crosley David R. Energ transfer in $A^2\Sigma^+$ OH. I. Rotational. «J. Chem. Phys.», 1977, 67, № 5, 2085—2101 (англ.)

*перенос
вращающей
энергии*

При возбуждении индив. вращательных уровней ($N=0—6$) электронного состояния $^2\Sigma^+$ радикала OH излучением перестраиваемого лазера на красителе наблюдали спектральное распределение люминесценции (СРЛ) на переходе $^2\Sigma^+ \rightarrow ^2\Pi$. Исследованием зависимости СРЛ от давления газов-релаксантов N_2 , H_2 , Ar определены интегральные константы скорости враща-

тельной релаксации уровней $N=0—6$ ($\sim 5 \cdot 10^{-10} \text{ см}^3/\text{молекула}\cdot\text{сек}$ для N_2). Из сопоставления трансформации СРЛ с развитой моделью вращательной релаксации определены значения вероятностей для $\sim 200 N—N$ -переходов (для $N=1—15$). Г. К. Васильев

x. 1978, 19

OH

0000000 5757

1977

(He)

Lowe J.P.

J.Amer. Chem. Soc.,
1977, 99, (I7), 5557-70.

1977

OH

б Николаевск

6 Д559. Одновременные измерения температуры и концентрации радикалов OH в пламени методом лазерной абсорбционной спектроскопии высокого разрешения. Lück Klaus C. Simultane Temperatur- und OH-Konzentrationsbestimmung in Flammen mit hochauflösender Laserabsorptionsspektroskopie. «Laser 77 Opto-Electron. Conf. Proc., Munich, 1977». Guildford, 1977, 158—163 (нем.)

В области 280—320 нм исследованы спектры поглощения радикалов OH ($A^2\Sigma^+ - X^2\Pi$), образующихся в метано-воздушном пламени при атмосферном давлении. Измерения проведены с помощью узкополосного ($\Delta\nu \ll 50$ Мгц) перестраиваемого лазера с удвоением частоты на красителе «родамин-6Ж», накачиваемом излучением Ar⁺-лазера. Из анализа спектральных данных оценены величины конц-ии радикалов OH и их вращательной и кинетич. т-р в различных зонах пламени.

С. Л.

Ф. 1949, №

OH

Omniscient 5678

1977

OD

87: 159580g Electronic excitation of the radical hydroxyl=(hydroxyl-d) $A^2\Sigma^+$ formed by photolysis of water(water-d₂) at 104.8-106.7 nm and by argon photosensitization. Masanet, Jeannine; Vermeil, Catherine (Ec. Super. Phys. Chim. Ind., Paris, Fr.). *J. Chim. Phys. Phys.-Chim. Biol.* 1977, 74(7-8), 795-8 (Fr). OH(OD)($A^2\Sigma^+ \rightarrow X^2\Pi$) emission were studied, OH(OD) being formed by photolysis of H₂O(D₂O) vapor with Ar lamp (104.8 and 106.7 nm) and by Ar photosensitization. The rotational temp. of OH($A^2\Sigma^+$) is higher in the direct photolysis expts. than in Ar photosensitization. This result is discussed in terms of resonant and nonresonant energy transfer, and in comparison with the results obtained by other authors studying the collision of H₂O and D₂O with metastable Ar atoms. The rotational temps. obtained for H₂O and D₂O are in the same range of magnitude; a unique model of energy distribution can be predicted for the photodissocn. of both mols.

(+1) 18

C.A. 1977, 87, 780

ОН

1944

) 24 Б196. Интерпретация колебательного спектра льда I в области валентных колебаний ОН. McGraw Robert, Madden William G., Rice Stuart A., Sceaats Mark G. An interpretation of the OH stretching region of the vibrational spectrum of ice I. «Chem. Phys. Lett.», 1977, 48, № 2, 219—226 (англ.)

Ковбас
Синкір
vi

Н. 1944
№ 24

Предложена новая интерпретация колебательного спектра льда I, основанная на расчете нормальных колебаний системы взаимодействующих линейных осцилляторов. Подробно рассмотрено влияние межмолек. взаимодействий на вал. кол. ОН. Наличие такого рода взаимодействий объясняет ширину и большую часть основных полос в колебательном спектре поликрист. льда, за исключением полосы 3215 см^{-1} в спектре КР. Предполагается, что эта полоса появляется в результате взаимодействия вал. кол. ОН с колебаниями решетки. Рассчитаны и сравниваются с эксперим. данными частоты колебаний льда II и льда III. В. М. Ковба

OH

и - л.
спектр

ф. 1977
128

8 Д515. О микроволновом спектре $X^2\Pi$ -состояния гидроксильного радикала. Meerts W. L. On the microwave spectrum of the $X^2\Pi$ state of the hydroxyl radical. «Chem. Phys. Lett.», 1977, 46, № 1, 24—28 (англ.)

Проведено теоретич. рассмотрение спектра сверхтонкой структуры (Λ -удвоение) OH с использованием разложения матричных элементов тонкой структуры в ряд по степеням ($J+1/2$) до 5-й степени вращательного квантового числа J с учетом недиагональных элементов. Диапазон эксперим. данных дал возможность определить все параметры сверхтонкой структуры (Λ -удвоение) и проверить правильность теоретич. метода. Почти все наблюдаемые переходы микроволн. спектра молекул OH в $X^2\Pi$ -состоянии соответствуют вычисленным в пределах эксперим. ошибок. Известные эксперим. частоты переходов OH с J от 1/2 до 13/2 для ${}^2\Pi_{1/2}$ -состоиния и от 3/2 до 15/2 для ${}^2\Pi_{3/2}$ -состоиния использовались для определения постоянных взаимодействия тонкой и сверхтонкой структуры методом наименьших квадратов. Вычисленные постоянные использовались для расчетов ненаблюдаемых переходов Λ -удвоения OH с $J \leq 17/2$ (предполагаемая точность 20—40 кГц). Представленный теоретич. метод может быть полезен для молекул, имеющих большое Λ -расщепление, и для вычисления переходов с большими J . Библ. 15.

1977

445 — 14775

OH.

*is- 17775

1977

186: 148207u On the microwave spectrum of the X²II state of the hydroxyl radical. Meerts, W. L. (Fys. Lab., Katholieke Univ. Nijmegen, Nijmegen, Neth.). *Chem. Phys. Lett.*, 1977, 46(1), 24-8 (Eng). A refit of the obsd. hyperfine A-doubling spectrum of OH is presented by using an expansion of the fine structure matrix elements in a power series up to the 5th degree in the rotational quantum no. J. Almost all obsd. transitions of the microwave spectrum of the OH mol. in the X²II state could be predicted within the exptl. inaccuracies. Reliable predictions for the nonobsd. transitions originating in the rotational states for $J \leq 17/2$ are also presented.

M. B. Clegg

C.A. 1977, 86 N20

ОН

21 Б153. Определение заселеностей уровней радикала OH методами линейчатого поглощения и излучения с учетом неразрешенной дублетной структуры. Очккин В. Н., Савинов С. Ю., Соболев Н. Н. «Ж. прикл. спектроскопии», 1977, 26, № 5, 900—905

1977

Для дублетных спектральных линий, соотв-щих переходу $A^2\Sigma^+ - X^2\Pi$ молекулы гидроксила, рассчитаны функции поглощения, необходимые для определения оптич. плотности. Показано, что пренебрежение дублетной структурой линии приводит к занижению определяемых методом линейчатого поглощения величин заселеностей колебательно-вращательных уровней основного электронного состояния $X^2\Pi$. Величина допускаемой при этом погрешности зависит от отношения факторов интенсивности компонент в дублете $S'_{K'K''}/S_{K'K''}$ ($S_{K'K''}$) и $S'_{K'K''}$ — факторы интенсивности для главной и сателлитной компоненты дублета соотв. С ростом поглощения погрешность увеличивается. Показано также, что необходимо учитывать дублетную структуру линий и при определении вращательной т-ры молекул гидроксила OH ($X^2\Pi$) методом линейчатого поглощения. Для дублетных спектральных линий получена ф-ла для учета реабсорбции излучения.

пр-цисс
погл-ть

Х. 1977

№ 21

1977

OH

paenfeged. no spaces. yprobable

87: 110184s Rotational level distribution of hydroxyl radicals in a glow discharge. Ochkin, V. N.; Savinov, S. Yu.; Sobolev, N. N. (Fiz. Inst. im. Lebedeva, Moscow, USSR). *Zh. Tekh. Fiz.* 1977, 47(6), 1168-76 (Russ). The distribution of OH radicals over rotational levels of the ground ($X^2\Pi$) and excited electronic states $A^2\Sigma^+$ in a glow discharge in H₂O vapor was detd. from the line absorption and relative intensities of the rotational lines of the $A^2\Sigma^+ - X^2\Pi$ transition. In all cases studied, the rotational level distribution in the ground state corresponded to a Boltzmann distribution, and in the $A^2\Sigma^+$ state, 2 distributions (of "cold" and "hot" OH radicals) were superimposed.

C. A. 1977. 87 214

ОН

В9-Х-5938

1947

7Д183. Предиссоциация и туннельный переход в $A^2\Sigma^+$ -состоянии ОН. Palmer Howard B. Predisso-
ciation and tunneling in the $A^2\Sigma^+$ state of OH. «J. Chem.
Phys.», 1977, 67, № 11, 5413 (англ.)

В заметке Германа (см. реф. 7Д182) указывается на неопределенность в применении данных о прекращении излучения для построения предельной кривой диссоциации с использованием предиссоциации $A^2\Sigma^+ - ^4\Sigma^-$ радикала OH. Утверждается, что постепенность в прекращении излучения может быть связана не только с туннельным эффектом, но и с малой вероятностью предиссоциации. По-видимому, в случае OH исследование явления прекращения излучения полезно лишь на первом этапе. Указано, что для более полного понимания явления необходимо тщательное изучение потенциальных кривых взаимодействия, полученных из эксперим. и теоретич. исследований времен жизни уровней энергии $A^2\Sigma^+$ -состояния.

И. Флакс

предиссо-
циация

Ф. 1948 № 7

OH

BP-XI-5938

1977

88: 67466s Predissociation and tunneling in the $A^2\Sigma^+$ state of hydroxyl. Palmer, Howard B. (Dep. Mater. Sci., Pennsylvania State Univ., University Park, Pa.). *J. Chem. Phys.* 1977, 67(11), 5413 (Eng). A reply to the polemic by K. R. German (*ibid.* 1977, 67(11), 5411).

unpublished.

$A^2\Sigma^+$

CA 1978, 83, 110

ОН

ВР-Х1-5938

1077

16 Б137. Предиссоциация и туннелирование в состоянии $A^2\Sigma^+$ ОН. Раттер Н. В. Predisociation and tunneling in the $A^2\Sigma^+$ state of OH. «J. Chem. Phys.», 1977, 67, № 11, 5413 (англ.)

предис-
социация

Обсуждена возможность использования эксперим. данных по обрыву испускания OH в результате предиссоциации $A^2\Sigma^+ \rightarrow ^4\Sigma^-$ для построения предельной кривой диссоциации состояния $A^2\Sigma^+$ радикалов OH и OD. Отмечается, что для изучения взаимодействия потенциальных кривых OH больше подходят эксперим. и теор. методы определения времен жизни уровней энергии в состоянии $A^2\Sigma^+$.

В. М. Ковба

Х: 1988, N16

IX-5525

1977

AB₃(LiI, NH₃, SH, NH₂H, NCOH, SCN, PH₃, S_NH)

D₂S(LiI, NH₃, NH₂, NH, NCOH, NC, PH₃, S_NH)

Rosenthal P, Allegre C.

J. Chem. Phys., 1977, 66, N° 1, 13-19 (article)

PAO-CI and CEPA similarities of electron correlation effects. IV Ionization energies, 1/ the first and second vertical ionization potentials and the spectroscopic constants of the ions

Prop. 9013 - 1977 SD 149

10. (CP)

1977

70613.360
Ph,Ch,TCOH, 76189
*каредай*CH₃OH~~атрие~~
5567

К р. № 70613.359

Rossarie Jean, Gallas Jean-Paul,
 Binet Claude, Romanet René. Effet de la
 liaison hydrogène sur les vibrations

du groupement OH (ou OD) de quelques alcô-
 ols. 3. Vibration de torsion OH."J.
 chim. phys. et phys.-chim.biol.", 1977,

74, № 2, 205-206 (франц., рез. англ.)

2

837 843 3 85

08.94

ВИНИТИ

70613.359

Ph,Ch,TG

OH 75189

(V: касеф.бензифак)

1974
отдел
5568

K p. № 70613.359

Rosanov Jean, Gallas Jean-Paul,

Binet Claude, Romanet René. Effet de la liaison hydrogène sur les vibrations du groupement OH (ou OD*) de quelques alcools.

2. Vibration de déformation angulaire

OH: anharmonicité mécanique.

"J. chim. phys. et phys.-chim.biol.",

1977,74, № 2, 197-201

(Франц.-нем.-англ.)

ОН

ВХЗ-1438

1977

19 Б14. Теоретическое изучение отрицательных молекулярных ионов. Simons Jack. Theoretical studies of negative molecular ions. «Аппи. Rev. Phys. Chem. Vol. 28». Palo Alto, Calif., 1977, 15—45 (англ.)

Дан обзор сведений о расчетах и методах расчета отриц. молек. ионов. Дано краткое описание метода ур-ний движения, рассмотрена диаграммная техника этого метода. Проведен расчет потенц. кривых и св-в молекул OH, BeH, CN, BO, Li₂, LiF, LiCl, LiH, NaN, BeO и их однозарядных отриц. ионов методами ССП, ур-ний движения и с помощью теоремы Купманса.

Б. И. Пупышев



2:1988 №

OH

Онтическ. 5643

1977

З Б40. Релятивистские поправки к эффекту Зеемана в двухатомных молекулах. Veseth L. Relativistic corrections to the Zeeman effect in diatomic molecules. «J. Mol. Spectrosc.», 1977, 66, № 2, 259—271 (англ.)

Определены молек. g -факторы для основных состояний симметрии ${}^2\Pi$ молекул OH, SH, NO, NS и ClO, С одной стороны значения $g_e + (g_s/2)$, g_L , g_B^* и g_A^* подобраны методом наименьших квадратов на основе анализа разнообразных спектроскопич. измерений, включая данные ЭПР. С другой стороны проведены теор. расчеты в предположении, что рассматриваемые молек. состояния описываются случаем Гуида c_a . Использовано выражение для гамильтониана молекулы в релятивистском приближении Брейта — Паули. Электронные волновые функции заданы в приближении ЛКАО. Показано, что для расчетов релятивистских поправок можно пренебречь вкладами от двухцентровых интегралов. Для рассматриваемых молек. состояний выписаны явно электронные составляющие матричных элементов диамагнитной части гамильтониана. Со-

Монгольская
С. Родионов
Б. С. Соловьев

2, 1978, № 3

поставление теор. и эксперим. величин $g_0 + (g_s/2)$, ответственных за основной вклад в эффект Зеемана, показывает, что между ними существует систематич. расхождение. Разница между этими значениями для молекул OH, SH и NO линейно зависит от величины A/B , где A — постоянная спин-орбитального взаимодействия, B — вращательная постоянная. Наибольшее различие, наблюдаемое для NO, составляет 20% от величины квантовой электродинамич. поправки для свободных электронов.

А. В. Немухин

еши
ости?

ОН

1977

6 Б1093. Одновременное определение вращательной и поступательной температур радикала $\text{OH}({}^2\Pi)$ в газовом разряде. Wang Chatter S., Killinger D. K. Simultaneous Determination of Rotational and Translational Temperatures of $\text{OH}({}^2\Pi)$ in a Gas Discharge. «Phys. Rev. Lett.», 1977, 39, № 15, 929—932: (англ.)

Путем измерений интенсивности и формы линий поглощения в переходах ${}^2\Pi(v=0) \rightarrow {}^2\Sigma^+(v=0)$ для радикалов OH, получаемых при СВЧ-разряде в парах воды при давл. 0,2—20 мм, одновременно определены вращательная ($T_{\text{вр}}$) и поступательная т-ра ($T_{\text{пост}}$) радикала OH. Измерения проводили методом спектрофотометрии поглощения с использованием излучения второй гармоники непрерывного перестраиваемого лазера на красителе в области 3080 Å, что соответствует исследуемым переходам. Из зоны разряда пары воды со скоростью ~ 300 см/сек прокачивали через зону наблюдения, отстоящую от зоны разряда на варьируемое расстояние $l=5$ —30 см. Найдено, что распределение населенности вращательных уровней OH в основном электронном состоянии является строго больц-

2, № 6, 1978

мановским, а $T_{\text{вр}} = 226 \pm 10^\circ \text{К}$ и не зависит от l (давл. паров воды 1,2 мм). В то же время $T_{\text{пост}}$, найденная по допплеровскому уширению линии поглощения OH, равна $315 \pm 30^\circ \text{К}$ при $l = 22$ см, т. е. немногого выше комн. т-ры (300°К), но существенно превышает $T_{\text{вр}}$. С понижением l до 5 см $T_{\text{пост}}$ возрастает до 365°К . С ростом давл. до 20 мм происходит повышение $T_{\text{пост}}$ и наблюдаются отклонения от больцмановского вращательного распределения: населенности высоких вращательных уровней завышены и близки к величинам, соотв-щим $T_{\text{пост}}$. Эти данные показывают, что при диссоциации молекул воды электронным ударом радикалы OH возникают без вращательного возбуждения. По оценке сечение переноса энергии с поступательных степеней свободы молекул среды на вращательные степень свободы OH(${}^2\Pi$) не превышает

10^{-16} см^2 . Эта величина меньше известного из литературы значения 10^{-5} см^2 для сечения аналогичного процесса с участием электронно-возбужденного состояния OH(${}^2\Sigma^+$), что свидетельствует о существенной роли электронного возбуждения во вращательно-поступательной релаксации радикалов OH. В. Е. Скура